

ANALIZA IMAGINILOR:
ÎNDRUMAR DE LABORATOR

Constantin VERTAN, Mihai CIUC, Marta ZAMFIR

2001

Cuprins

| | | |
|----------|---|-----------|
| 1 | Introducere | 7 |
| 2 | Segmentarea pe histogramă: generalități | 9 |
| 2.1 | Histograma unei imagini | 9 |
| 2.2 | Histograma ponderată a unei imagini | 11 |
| 2.3 | Segmentarea pe histogramă | 13 |
| 2.4 | Segmentarea pe histograma cumulativă | 15 |
| 2.5 | Desfășurarea lucrării | 15 |
| 2.6 | Probleme și întrebări | 17 |
| 3 | Segmentarea pe histogramă: modelarea histogramei | 19 |
| 3.1 | Mixturi de distribuții și separabilitatea modurilor | 19 |
| 3.2 | Metoda Bhattacharyya | 20 |
| 3.3 | Segmentarea cu prag optim | 22 |
| 3.4 | Desfășurarea lucrării | 23 |
| 3.5 | Probleme și întrebări | 24 |
| 4 | Creșterea regiunilor | 25 |
| 4.1 | Desfășurarea lucrării | 27 |

| | | |
|----------|--|-----------|
| 4.2 | Probleme și întrebări | 27 |
| 5 | Etichetarea imaginilor binare | 28 |
| 5.1 | Etichetarea secvențială iterativă | 28 |
| 5.2 | Etichetarea cu corespondență între etichete | 29 |
| 5.3 | Etichetarea prin propagarea etichetelor | 30 |
| 5.4 | Desfășurarea lucrării | 31 |
| 5.5 | Întrebări și probleme | 31 |
| 6 | Extragerea conturilor | 32 |
| 6.1 | Metoda de gradient | 32 |
| 6.2 | Operatori compas | 35 |
| 6.3 | Operatori laplacieni | 36 |
| 6.4 | Desfășurarea lucrării | 37 |
| 6.5 | Întrebări și probleme | 38 |
| 7 | Caracterizarea texturilor | 39 |
| 7.1 | Caracterizarea texturilor prin matrici de coocurență | 40 |
| 7.2 | Caracterizarea texturilor prin izosegmente | 42 |
| 7.3 | Caracterizarea spectrală a texturilor | 43 |
| 7.4 | Desfășurarea lucrării | 44 |
| 7.5 | Întrebări și probleme | 46 |
| 8 | Caracterizarea regiunilor | 48 |
| 8.1 | Parametri geometrici | 48 |
| 8.2 | Momente statistice și invarianți | 49 |

| | | |
|----------|--|-----------|
| 8.3 | Skeletonul morfologic | 51 |
| 8.4 | Desfășurarea lucrării | 53 |
| 8.5 | Întrebări și probleme | 53 |
| 9 | Caracterizarea conturilor | 54 |
| 9.1 | Semnătura formei | 54 |
| 9.2 | Descriptori Fourier de contur | 55 |
| 9.2.1 | Translație | 56 |
| 9.2.2 | Scalare | 57 |
| 9.2.3 | Rotație | 57 |
| 9.2.4 | Schimbarea originii | 58 |
| 9.3 | Poligonalizarea conturilor | 58 |
| 9.4 | Desfășurarea lucrării | 59 |
| 9.5 | Întrebări și probleme | 59 |
| A | Ghid de utilizare a funcțiilor Matlab | 61 |
| A.1 | Citire-scriere fișiere imagine | 61 |
| A.1.1 | bmp8rd | 61 |
| A.1.2 | bmp8wr | 63 |
| A.1.3 | imgread | 65 |
| A.1.4 | imgwrite | 66 |
| A.1.5 | mfiread | 67 |
| A.1.6 | mfiwrite | 68 |
| A.2 | Calcul caracteristici statistice | 69 |
| A.2.1 | cooc | 69 |

| | | |
|-------|-------------------------------|----|
| A.2.2 | histo | 70 |
| A.2.3 | izoseg | 71 |
| A.2.4 | mas_cooc | 72 |
| A.2.5 | mas_four | 73 |
| A.2.6 | mas_izo | 73 |
| A.2.7 | moments | 74 |
| A.2.8 | whisto | 75 |
| A.3 | Segmentare regiuni | 76 |
| A.3.1 | bhat | 76 |
| A.3.2 | cumthresh | 77 |
| A.3.3 | etichete | 78 |
| A.3.4 | etic1 | 79 |
| A.3.5 | gausmixt | 81 |
| A.3.6 | grow_reg | 82 |
| A.3.7 | nakagawa | 83 |
| A.3.8 | thresh | 84 |
| A.4 | Extragere contururi | 85 |
| A.4.1 | compas | 85 |
| A.4.2 | gradient | 86 |
| A.4.3 | fourdesc | 87 |
| A.5 | Prelucrări generale | 88 |
| A.5.1 | graymas | 88 |
| A.5.2 | lfilter | 89 |
| A.5.3 | linfilt | 90 |

| | | |
|----------|---|-----------|
| A.5.4 | remap | 91 |
| A.5.5 | rot45 | 92 |
| B | Ghid de utilizare a programului SAIN | 93 |
| C | Lista imaginilor disponibile | 99 |
| C.1 | Imagini binare pentru etichetare | 99 |
| C.2 | Imagini binare pentru caracterizarea formelor | 99 |
| C.3 | Imagini intrinsec binare | 100 |
| C.4 | Imagini de sinteză cu nivele de gri | 100 |
| C.5 | Texturi | 100 |
| C.6 | Imagini naturale cu nivele de gri | 100 |

Capitolul 1

Introducere

Odată cu importante dezvoltări tehnologice din ultimii ani (tehnologie electronică, informatică și a comunicațiilor), dispozitivele de achiziție a imaginilor și sistemele de calcul de uz general au devenit tot mai răspândite și mai la îndemână. În mod firesc, dorința de a dispune de sisteme autonome înzestrate cu vedere artificială, care să realizeze în mod independent diferite sarcini specifice a revenit în actualitate, limitată însă la obiective mai simple și mai pragmatice față de declarațiile oarecum bombastice ale deceniului trecut ("Prelucrarea imaginilor permite dezvoltarea mașinii totale de vedere artificială, capabilă să reproducă funcțiile vizuale ale oricărei viețuitoare." [7]).

Prelucrarea și analiza imaginilor cuprinde ansamblul de tehnici și metode de achiziție, stocare, afișare, modificare și exploatare a informației vizuale cuprinsă în imagini. În particular, analiza imaginilor se referă la capacitatea de a descrie, înțelege și recunoaște scene, obiecte din scene și legăturile dintre acestea. Din punct de vedere funcțional, analiza imaginilor transformă o imagine de intrare într-o descriere.

În mod esențial, analiza imaginilor statice înseamnă descompunerea acestora în elementele constitutive (prin segmentare) și apoi caracterizarea elementelor individuale prin parametri de formă. Atât segmentarea cât și descrierea pot fi realizate interpretând obiectele fie ca regiuni compacte, fie numai ca frontiere (contururi). Organizarea logică a prezentării domeniului de analiză a imaginilor va urmări deci aceste patru direcții esențiale.

Lucrarea de față este un ghid pentru realizarea experimentelor de laborator de analiză a imaginilor. Capitolele lucrării tratează câte o problemă bine definită: segmentarea pe regiuni fără folosirea de informații a priori, segmentarea pe regiuni cu folosirea de modele, creșterea regiunilor, etichetarea imaginilor binare, segmentarea prin extragerea conturilor, descrierea texturilor, a regiunilor compacte și a conturilor. Anexele oferă informații asupra modului de utilizare a suportului software folosit.

Fiecare capitol este compus din trei părți: un breviar teoretic ce recapitulează noțiunile fundamentale, un ghid de desfășurare a lucrării, cuprinzând indicații pentru realizarea experimentelor concludente pentru înțelegerea și ilustrarea teoriei și un set de probleme deschise, a căror rezolvare nu este întotdeauna imediată, ce necesită o atenție și un interes suplimentar.

Experimentele propuse se bazează pe folosirea produsului software Matlab, pentru care au fost dezvoltate o serie de funcții suplimentare (explicitate și listate în Anexa A) și pe utilizarea produsului software SAIN de analiză a formelor plane (al cărui ghid de utilizare este prezentat în Anexa B). Funcțiile Matlab prezentate funcționează pentru versiuni Matlab începând cu 4.0; s-a evitat folosirea funcțiilor extrem de specializate din toolbox-ul de prelucrare a imaginilor sau din versiunile Matlab mai noi (5.3 sau 6.0), în încercarea de a menține o abordare didactică și de a oferi posibilitatea de experimentare personală și celor ce nu dispun de calculatoare foarte performante. Tocmai în ideea de a oferi posibilitatea de realizare particulară a experimentelor, imaginile de test folosite (în majoritate de dimensiune 128 x 128) și programul SAIN sunt disponibile și prin Internet la adresa <http://alpha.imag.pub.ro/release>.

Acest îndrumar de laborator se adresează în primul rând (dar nu în mod exclusiv) studenților de la specializările IFIA (Imagini, Forme și Inteligență Artificială) și II (Ingineria Informației) de la Catedra de Electronică Aplicată și Ingineria Informației, Facultatea de Electronică și Telecomunicații a Universității Politehnica București. Lucrarea de față însoțește cursul de Analiza Imaginilor de la secția IFIA și a doua jumătate a cursului de Prelucrarea și Analiza Imaginilor de la secția II. Sperăm că acest îndrumar își va dovedi utilitatea și va constitui o completare utilă a cursurilor.

În final autorii doresc să mulțumească în mod deosebit Domnului Profesor Vasile Buzuloiu pentru sprijinul, sfatul și încurajările acordate.

Capitolul 2

Segmentarea pe histogramă: generalități

Scopul acestei lucrări este familiarizarea cu tehnicile de segmentare pe histogramă a imaginilor, și anume segmentarea cu mai multe praguri, prin alegerea acestora pe minimele histogramei. De asemenea, se urmărește folosirea histogramelor ponderate pentru accentuarea separației între modurile histogramei.

2.1 Histograma unei imagini

Pentru o imagine f de $M \times N$ pixeli și L nivele de gri, histograma este definită (2.1) ca probabilitatea de apariție în imagine a diferitelor nivele de gri posibile.

$$h(i) = \frac{1}{MN} \sum_{m=0}^{M-1} \sum_{n=0}^{N-1} \delta(i - f(m, n)) \quad , \quad i = 0, 1, \dots, L - 1 \quad (2.1)$$

Fiind o funcție de densitate de probabilitate, histograma oricărei imagini verifică condiția de normare:

$$\sum_{i=0}^{L-1} h(i) = 1$$

Histograma cumulativă este funcția de repartiție a variabilei aleatoare ce reprezintă nivelul de gri al imaginii, și deci este probabilitatea ca un pixel din imagine să aibă nivelul de gri mai mic sau egal ca un prag fixat:

$$H(i) = \sum_{a=0}^i h(a), \quad i = 0, 1, \dots, L-1 \quad (2.2)$$

Orice imagine este o structură bidimensională de date, deci o matrice. Imaginile sunt stocate în fișiere; adeseori fișierele ce conțin imagini au o organizare (structură) specială, descrisă de așa numitele formate grafice. Fișierele grafice (ce conțin imagini) sunt identificate prin extensiile speciale pe care le au numele acestora. În laboratoarele de analiza imaginilor se vor folosi fișiere având formatele IMG, MFI și BMP.

În Matlab citirea unei imagini stocate în asemenea fișiere se face cu ajutorul funcțiilor **imgread** (dacă fișierul este de tip IMG, deci are extensia .img), **mfiread** (dacă fișierul este de tip MFI, deci are extensia .mfi) și **bmp8rd** (dacă fișierul este de tip BMP, deci are extensia .bmp). Modul de folosire a acestor funcții este:

```
»x=imgread('nume fișier imagine', dimensiune);
```

```
»x=mfiread('nume fișier imagine');
```

```
»x=bmp8rd('nume fișier imagine');
```

Rezultatul execuției comenzilor anterioare este acela că se creează (în memoria calculatorului sau în așa numitul spațiu de lucru Matlab) matricea x , ce corespunde imaginii stocate în fișierul cu numele 'nume fișier imagine' (apostrofurile precizează faptul că acesta este un șir de caractere). Pentru citirea fișierelor în format IMG este necesară și precizarea dimensiunii imaginii, în pixeli (imaginea fiind presupusă pătrată).

Observație 1 Pentru fișierele în format IMG disponibile pentru laboratoare, ultimele trei cifre din numele fișierului au semnificația dimensiunii (în pixeli) a imaginii conținute; deci un fișier numit *lena_128.img* semnifică faptul că este de tip IMG și conține o imagine pătrată cu dimensiunea de 128 pixeli.

Imaginile cu care se lucrează în mod curent sunt imagini cu nivele de gri, reprezentate pe 256 de nivele de cuantizare (deci $L = 256$). Valoarea fiecărui pixel al imaginii (nivelul de gri al fiecărui pixel) este măsura luminanței punctului respectiv; 0 corespunde negrului și 255 corespunde albului. Din acest punct de vedere, imaginile sunt imagini de intensitate (valoarea fiecărui punct este proporțională cu intensitatea luminoasă din punctul considerat). În același timp însă, valorile întregi ale punctelor se folosesc la afișarea imaginii pentru a recupera culoarea corespunzătoare dintr-un tabel de culoare (tabel de culoare ce conține cele 256 de nivele de gri folosite), și deci există și o a doua interpretare a imaginilor ca imagini indexate. Afișarea unei imagini cu L nivele de gri, reprezentată de matricea x în fereastra curentă, se face cu comanda Matlab:

» `image(x), colormap(gray(L))`

Observație 2 *Evident, în comanda de mai sus, L trebuie înlocuit cu valoarea lui numerică particulară, ca de exemplu 256. De asemenea, trebuie avut în vedere că Matlab nu poate reprezenta imagini cu mai mult de 256 de culori (nivele de gri) diferite.*

Pentru calcularea histogramei (2.1) și a histogramei cumulative (2.2) a unei imagini x cu nivele de gri se folosește funcția **histo**:

» `[h, H]=histo(x);`

Dacă nu este necesară și histograma cumulativă, funcția se poate apela doar prin:

» `h=histo(x);`

Codul Matlab al acestei funcții se regăsește în fișierul **histo.m**; calculul efectiv este realizat de:

| | |
|--|---|
| <pre>function [h,hcum]=histo(in,sw) [hh,w]=size(in); h=zeros(1,256); for i=1:256 h(i)=prod(size(find(in==i))); end h=h/(w*hh); hcum=cumsum(h);</pre> | <p>definiția funcției histo (sw este parametru nefolosit) se preiau dimensiunile imaginii se inițializează histograma pentru toate nivelele de gri se numără pixelii ce au un nivel de gri dat se normalizează histograma se calculează histograma cumulativă</p> |
|--|---|

Vizualizarea histogramei în figura curentă se face prin trasarea graficului definit de vectorul h :

» `plot(h)`

Dacă nivelul de gri (respectiv proprietatea fizică pe care acesta o reprezintă) caracterizează în mod suficient obiectele din scenă, histograma imaginii va prezenta o structură de moduri dominante - intervale de nivele de gri ce apar cu probabilitate mai mare. Fiecare asemenea mod (maxim al histogramei) va reprezenta o anumită categorie de obiecte.

2.2 Histograma ponderată a unei imagini

Construirea histogramei ponderate are ca scop accentuarea minimelor locale, pentru o alegere mai ușoară a pragurilor de segmentare (separație inter-mod). Histograma pon-

derată este construită prin definirea unei funcții de ponderare $w()$, care transformă o anumită proprietate locală $p(m, n)$, conform relației (2.3):

$$h_w(i) = \frac{1}{MN} \sum_{m=0}^{M-1} \sum_{n=0}^{N-1} w(p(m, n)) \delta(i - f(m, n)) \quad , \quad i = 0, 1, \dots, L - 1 \quad (2.3)$$

În această histogramă ponderată contribuția pixelilor nu mai este unitară, ci dependentă de proprietățile vecinătății acestora, măsurate prin $p(m, n)$. Proprietatea locală cea mai des utilizată este aceea de neuniformitate (de variație a nivelelor de gri în vecinătatea fiecărui pixel), măsurată prin laplacianul local $l(m, n)$. Pixelii care se află în zonele de tranziție (frontierele obiectelor din imagine) au o vecinătate neuniformă, și deci un laplacian mare în valoare absolută, iar pixelii care se află în interiorul unor regiuni uniforme (interiorul obiectelor) au o vecinătate mai uniformă și deci un laplacian mai apropiat de valoarea nulă. Pentru a accentua pe histogramă zonele de separație inter-mod este necesar ca pixelii ce se află în interiorul unor regiuni uniforme (obiecte) să aibă o contribuție mai importantă decât contribuția pixelilor aflați în zonele de frontieră. În aceste condiții, funcția de ponderare trebuie să fie invers proporțională cu laplacianul local; forma generală a funcției de ponderare este dată de relația (2.4):

$$w(p(m, n)) = \frac{1}{(1 + |l(m, n)|)^k} \quad (2.4)$$

Exponentul k reprezintă un factor suplimentar de reglaj, permițând obținerea de diferite grade de reliefare a minimelor histogramei (cu cât k este mai mare, cu atât minimele sunt mai bine puse în evidență).

Există un mod de segmentare alternativă, folosind maximele unei histograme ponderate. În acest caz este necesar ca funcția de ponderare $w()$ să transforme minimele histogramei normale în maxime ale histogramei ponderate. Dacă se folosește în continuare laplacianul ca proprietate locală și o funcție de ponderare proporțională cu acesta, de exemplu (2.5), histograma ponderată va lua în calcul doar pixelii din imagine a căror vecinătate prezintă variații puternice ale nivelelor de gri, în timp ce pixelii aflați în interiorul unor regiuni omogene nu vor avea nici o contribuție. Histograma ponderată astfel construită va prezenta maxime pe nivelele de gri ce corespund zonelor de tranziție între modurile histogramei normale.

$$w(p(m, n)) = |l(m, n)| \quad (2.5)$$

Funcția Matlab corespunzătoare construirii acestei histograme ponderate (și a histogramei cumulative asociate) este **whisto**:

» $wh=whisto(x)$;

Codul corespunzător prelucrării de bază este:

| | |
|--|---|
| <pre>function [h,hcum]=histo(in,p,mask) [hh,w]=size(in); h=zeros(1,256); in=[zeros(1,w+2);zeros(h,1) in zeros(h,1);zeros(1,w+2)]; for i=2:hh+1 for j=2:w+1 temp=in(i-1:i+1,j-1:j+1); la=(temp(:))'*mask(:); h(in(i,j))=h(in(i,j))+(1+abs(la))^p; end end</pre> | <p>definiție funcție dimensiuni imagine inițializare histogramă bordare imagine cu zerouri se filtrează liniar imaginea inițială (fără margini) vecinătatea fiecărui pixel determină o pondere se actualizează histograma</p> |
|--|---|

2.3 Segmentarea pe histogramă

Dacă histograma are doar două moduri dominante, separarea acestora (și deci identificarea obiectelor din imagine) se face prin alegerea unui nivel de gri T , numit prag de segmentare. Acest prag de segmentare se alege pe minimul global al histogramei. Din imaginea inițială f de nivele de gri se construiește o imagine de etichete (imagine etichetată) g , conform transformării descrise de (2.6) (vezi Figura 2.1 a)).

$$g(m, n) = \begin{cases} E_0, & 0 \leq f(m, n) < T \\ E_1, & T \leq f(m, n) < L \end{cases} \quad (2.6)$$

Imaginea etichetată va fi descrisă de două etichete: E_0 pentru punctele al căror nivel de gri este mai mic decât pragul T și E_1 pentru punctele al căror nivel de gri este mai mare decât pragul T . Etichetele E_0 și E_1 pot fi valori numerice (0 și 1, sau 0 și 255) sau pot fi șiruri de simboluri sau alți identificatori.

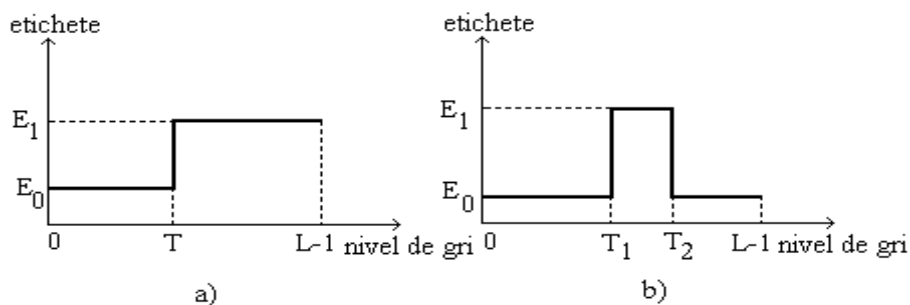


Fig. 2.1: Transformări punctuale de binarizare.

Transformarea (2.6) este o transformare punctuală (noua valoare din punctul (m, n) de-

pinde doar de valoarea anterioară din punctul (m, n) și poartă numele de binarizare. Această denumire provine din faptul că rezultatul transformării (imaginea etichetată) este o imagine binară - deci o imagine caracterizată doar de două valori.

Există însă și o variantă de binarizare cu două praguri (transformare punctuală numită decupare - “slicing“), definită de ecuația următoare (2.7) (vezi Figura 2.1 b)):

$$g(m, n) = \begin{cases} E_0, & \text{dacă } f(m, n) < T_1 \text{ sau } f(m, n) > T_2 \\ E_1, & \text{în rest} \end{cases} \quad (2.7)$$

În cazul general al existenței a mai multe praguri de segmentare T_k , transformarea de segmentare pe histogramă este descrisă de (2.8)

$$g(m, n) = E_k \quad \text{dacă} \quad T_k \leq f(m, n) < T_{k+1} \quad (2.8)$$

unde $T_0 = 0$, $T_C = L$, $k = 0, 1, \dots, C - 1$.

Pragurile T_k se aleg prin inspecția histogramei, în minimele locale ale acesteia. Acest tip de segmentare multinivel este mai puțin eficient decât binarizarea, din cauza dificultății de stabilire a pragurilor care să izoleze eficient intervalele de interes din histogramă, mai ales atunci când numărul modurilor este mare. Trebuie de asemenea remarcat faptul că este necesară cunoașterea numărului de tipuri de obiecte din imagine, pentru alegerea corespunzătoare a numărului de praguri de segmentare.

Pentru segmentarea unei imagini este disponibilă funcția **thresh** (de la termenul “thresholding“); folosirea cea mai simplă este:

» `y=thresh(x, prag);`

Comanda anterioară segmentează prin thresholding imaginea x după pragurile indicate de vectorul `prag`; imaginea de etichete este y . Pragurile sunt, evident, valorile nivelelor de gri ce corespund minimelor histogramei.

Observație 3 *Etichetele alocate sunt numerice, încep cu valoarea 1 și sunt incrementate unitar. Vizualizarea unei imagini de etichete se poate face cu:*

» `image(y), colormap(hsv(max(y(:))))`

Nucleul funcției de segmentare este realizat de:

| | |
|--|--|
| <pre>function out=thresh(in,prag,t) out=ones(size(in)); prag=[prag_min prag prag_max]; np=max(size(prag)); for i=1:np-1 p=find((in>=prag(i))&(in<prag(i+1))); val=i+1; out(p)=val*ones(size(p)); end</pre> | <p>declarația funcției (cu parametri nefolosiți)</p> <p>se inițializează imaginea de etichete</p> <p>se completează pragurile cu valorile extreme</p> <p>se determină numărul de etichete</p> <p>pentru fiecare etichetă</p> <p>se determină pixelii ce vor primi eticheta</p> <p>se incrementează valoarea etichetei</p> <p>se înscriu etichetele în imaginea de etichete</p> |
|--|--|

2.4 Segmentarea pe histograma cumulativă

Histograma cumulativă (2.2) este funcția de repartiție a variabilei aleatoare ce reprezintă nivelul de gri al imaginii, și deci este probabilitatea ca un pixel din imagine să aibă nivelul de gri mai mic ca un prag fixat.

Exemplul clasic de folosire a tehnicii de segmentare cu folosirea histogramei cumulative este acela de binarizare a unei imagini ce conține obiecte de interes și fundal. În general se consideră că obiectele de interes sunt caracterizate de un nivel de gri mai mic ca al fundalului, și că obiectele ocupă un procent P din suprafața (numărul de pixeli) imaginii. În aceste condiții, pragul de segmentare T se va alege astfel încât:

$$H(T) \cong P \quad (2.9)$$

2.5 Desfășurarea lucrării

1. Se vizualizează și înregistrează (în memorie și notițe) întreaga informație despre folosirea funcțiilor de citire a unor imagini din fișiere cu formatele IMG și BMP (**imgread**, **bmp8rd**), calcularea histogramei și histogramei ponderate a unei imagini (**histo**, **whisto**) și segmentarea imaginilor cu praguri (**thresh**).

```
>>help imgread
>>help bmp8rd
>>help histo
>>help whisto
>>help thresh
```

2. Urmăriți modul în care au fost scrise funcțiile folosite (vizualizați codul complet al fiecărei funcții).

```
>>type imgread
```

```
>> type bmp8rd
>> type hist
```

```
>> type whisto
>> type thresh
```

1. Se vor încărca imaginile de test disponibile: test1_128.img până la test5_128.img și se vor afișa. Pentru fiecare dintre acestea se vor calcula histograma și diferite histograme ponderate (pentru puterile -3,-2,-1,0,1,2). Încercați să deduceți pragurile de segmentare.

```
>> x=imread('test1_128', 128);
>> figure(1), image(x), colormap(gray(256))
>> h=histo(x);
>> figure(2), plot(h)
>> wh=whisto(x, putere);
>> figure(3), plot(wh)
```

2. Segmentați imaginile de test folosind pragurile deduse anterior. Caracterizați rezultatele acestei segmentări (în funcție de numărul și poziția pragurilor).

```
>> y=thresh(x, [prag1 prag2 prag3 ...]);
>> figure(4), image(y), colormap(hsv(max(y(:)))), colorbar
```

3. Încărcați și imagini “naturale“ existente (lena, peppers, camera, cactus) și repetați etapele precedente. Ce se poate spune despre rezultatele segmentării ?

4. Adăugați zgomot imaginilor și reluați calculul histogramelor, al pragurilor și al segmentării. Adăugarea zgomotului cu distribuție normală, medie nulă și dispersie *pzg* (având valorile 5, 10, 20, 30, 40, 50, 60) peste o imagine originală *x* se poate face cu următoarea secvență de comenzi Matlab.

```
>> xzg=x+fix(pzg*randn(size(x)));
>> p=find(xzg<1);
>> xzg(p)=ones(size(p));
>> p=find(xzg>256);
>> xzg(p)=256*ones(size(p));
>> figure(5), image(xzg), colormap(gray(256))
```

Același rezultat poate fi obținut și prin secvența mai compactă:

```
>> xzg=x+fix(pzg*randn(size(x)));
>> xzg=round(max(1, min(256, xzg)));
>> figure(5), image(xzg), colormap(gray(256))
```

5. Urmăriți dacă o eventuală preprocesare (o filtrare a imaginii zgomotoase înaintea segmentării) poate îmbunătăți rezultatele segmentării. Reducerea zgomotului poate

fi încercată fie cu un filtru de mediere (de medie aritmetică), fie cu un filtru median. Ambele tipuri de filtrări se pot realiza cu funcția **lfilter**.

```
» help lfilter
» type lfilter
» xzg_medie=lfilter(xzg, ones(1,9)/9);
» xzg_median=lfilter(xzg, [0 0 0 0 1 0 0 0]);
```

6. Urmăriți rezultatele unei segmentări pe histograma cumulativă pentru una dintre imaginile intrinsec binare aflate la dispoziție (reprezentând porțiuni din documente scanate) presupunând diferite procente de ocupare a suprafeței imaginii cu obiectele de interes.

```
» x=imread('image_test', 128);
» figure, image(x), colormap(gray(256))
» h=histo(x);
» prag=cumthresh(h,procent,0);
» y=thresh(x, [prag]);
» figure, image(y), colormap(hsv(max(y(:)))), colorbar
```

2.6 Probleme și întrebări

1. Urmăriți cele două moduri de calculare a histogramei unei imagini (funcția **histo**), determinate de alegerea unor valori diferite ale parametrului *sw*; care este diferența dintre acestea și care este mai rapid? Măsurați timpul de rulare al celor două variante. Timpul de rulare a unei comenzi se poate afla prin comenzile **tic** și **toc**:

```
» tic, y=histo(x, prag, 1); toc
» tic, y=histo(x, prag, 0); toc
```

Ce concluzii se pot deduce în ceea ce privește eficiența temporală a structurilor de ciclare (**for**) în Matlab?

2. Urmăriți cele două variante de etichetare pe care le poate produce funcția **thresh** (cu etichete ce încep cu 1 și se incrementează și cu nivelul de gri mediu al fiecărui interval). Reluați segmentarea unor imagini naturale folosind etichetarea cu nivelul de gri mediu; ceea ce rezultă este o aproximare a imaginii originale, dar cu un număr mai mic de nivele de gri (egal cu numărul de clase). Măsurați calitatea acestei aproximări (se folosește funcția **graymas**).
3. Scrieți o funcție Matlab care să determine în mod automat pragurile de segmentare (minimele histogramei) și testați rezultatele acesteia.
4. Scrieți o funcție Matlab care să realizeze calculul histogramei ponderate a unei imagini și care să fie apelată cu matricea ce corespunde imaginii pentru care se face

calculul și o matrice care să conțină parametrul de ponderare pentru fiecare pixel. Comparați timpul de rulare a acestei funcții cu timpul de rulare a funcției **whisto**.

5. Scrieți o funcție Matlab care să evalueze cantitativ calitatea unei binarizări prin evaluarea matricii de confuzie (matricea ce conține procentul de pixeli de obiect și fundal etichetați corect și procentele de pixeli clasificați eronat). Testați funcția evaluând rezultatele segmentării imaginilor intrinsec binare (folosite la segmentarea pe histograma cumulativă) pentru care sunt disponibile rezultatele corecte ale segmentării.

Capitolul 3

Segmentarea pe histogramă: modelarea histogramei

Lucrarea urmărește modul în care o histogramă oarecare poate fi modelată ca o mixtură de distribuții, în particular Gaussiene (normale).

3.1 Mixturi de distribuții și separabilitatea modurilor

O mixtură de distribuții este o combinație liniară (ponderată) convexă a unor funcții de distribuție (funcții de densitate de probabilitate). Cazul cel mai des folosit este acela al unei mixturi de distribuții Gaussiene.

$$N(\mu_k, \sigma_k)(x) = \frac{1}{\sigma_k \sqrt{2\pi}} e^{-\frac{(x-\mu_k)^2}{2\sigma_k^2}}$$

Dacă histograma h a imaginii este compusă prin superpoziția aditivă a C moduri gaussiene $N(\mu_k, \sigma_k)$, atunci:

$$h(x) = \sum_{k=1}^C w_k N(\mu_k, \sigma_k)(x)$$
$$\sum_{k=1}^C w_k = 1$$

Funcția Matlab **gausmixt** construiește o histogramă ca mixtură a unui număr fixat de moduri Gaussiene.

| | |
|--|--|
| <pre>function [fct]=gausmixt(params,p,range) mu=params(:,1); sigma=params(:,2); for i=1:no e=-((x-mu(i))/sigma(i)).^2; P(i,:)=(p(i)/(sigma(i)*sqrt(2*pi)))*exp(e); end fct=sum(P)/sum(sum(P));</pre> | <p>declarația funcției mediile distribuțiilor dispersiile distribuțiilor pentru toate punctele de calcul se calculează fiecare distribuție se calculează suma distribuțiilor</p> |
|--|--|

Separabilitatea modurilor înseamnă verificarea de către modurile vecine spațial a unei serii de condiții, ce garantează că modurile sunt discernabile. Un asemenea set de condiții a fost introdus de Nakagawa:

$$\begin{cases} \mu_2 - \mu_1 > 4 \\ 0.1 < \frac{\sigma_2}{\sigma_1} < 10 \\ \min_{x \in [\mu_1; \mu_2]} f(x) < 0.8 \cdot \min(f(\mu_1), f(\mu_2)) \end{cases} \quad (3.1)$$

Funcția **nakagawa** face aceste verificări pentru modurile unei mixturi oarecare caracterizate de funcția de densitate de probabilitate h și matricea de parametri statistici (medii și dispersii) $param$. Lista $list$ conține numărul de ordine al modurilor vecine ce nu verifică condițiile din (3.1) și tipul condiției ce nu este verificată (medii prea apropiate, dispersii prea diferite, separație neclară)

» $list = nakagawa(h, param);$

3.2 Metoda Bhattacharyya

Metoda Bhattacharyya se bazează pe descompunerea histogramei în moduri individuale gaussiene, adică se încearcă exprimarea histogramei imaginii ca o sumă ponderată de funcții de densitate de probabilitate de tip normal (Gaussian). Modelarea modurilor histogramei imaginilor prin distribuții normale este o presupunere ce se întâlnește în multe tehnici de prelucrare și analiză și pare a fi justificată de considerarea imaginii ca provenind dintr-o imagine ideală, în care fiecare tip de obiect este reprezentat de un unic nivel de gri, peste care s-a suprapus un zgomot alb, aditiv, Gaussian. În acest mod, mediile modurilor din histogramă corespund nivelelor de gri ce caracterizează obiectele scenei, iar varianțele acestor moduri sunt determinate de zgomotul suprapus imaginii (care nu este obligatoriu să afecteze în același mod toate nivelele de gri).

Pentru segmentarea după metoda Bhattacharyya nu este necesară precizarea unui număr de clase (praguri de segmentare), acesta urmând a fi determinat în mod automat. Ideea de plecare a metodei este de a determina parametrii caracteristici ai unei distribuții normale. Pentru o distribuție normală derivata logaritmului este:

$$\frac{\delta \ln N(\mu_k, \sigma_k)(x)}{\delta x} = -\frac{x}{\sigma_k^2} + \frac{\mu_k}{\sigma_k^2} = m_k x + n_k \quad (3.2)$$

Se observă prin examinarea expresiei (3.2) că derivata logaritmului distribuției normale este o dreaptă de pantă negativă, din ai cărei parametri se pot deduce media și varianța distribuției. Parametrii statistici ai distribuției sunt dați de ecuațiile (3.3).

$$\sigma_k = \sqrt{\frac{1}{|m_k|}}, \text{ și } \mu_k = \frac{n_k}{|m_k|} \quad (3.3)$$

Așadar, pentru aplicarea metodei la segmentarea pe histogramă a imaginilor, se va studia comportamentul derivatei logaritmului histogramei, adică a funcției $z(a)$:

$$z(a) = \ln \frac{h(a)}{h(a-1)}, a = \overline{1, L-1} \quad (3.4)$$

Pentru funcția astfel construită, se determină intervalele pe care acesta este descrescătoare (vezi Figurile 3.1 și 3.2); limitele superioare ale acestor intervale sunt pragurile T_k de segmentare pe histogramă. Suplimentar, pe fiecare dintre aceste intervale se poate face o aproximare liniară a punctelor și pe baza parametrilor deduși pentru dreapta de aproximare se pot calcula, conform (3.3) parametrii statistici locali.

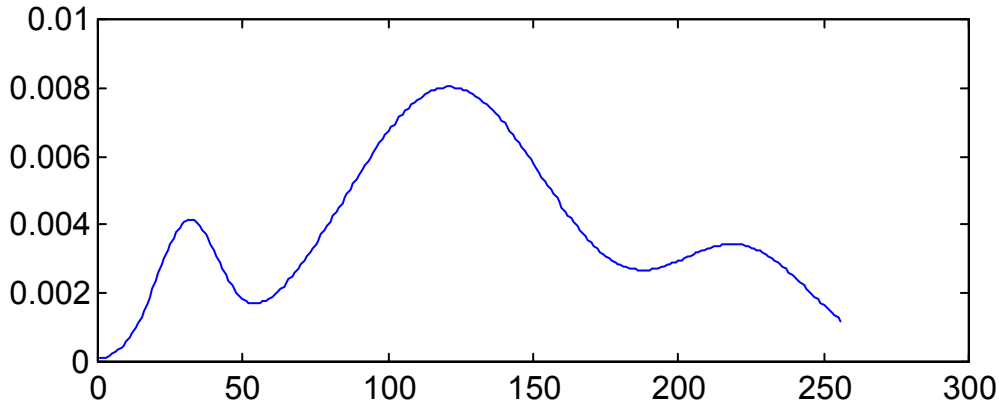


Fig. 3.1: Histogramă cu trei moduri normale

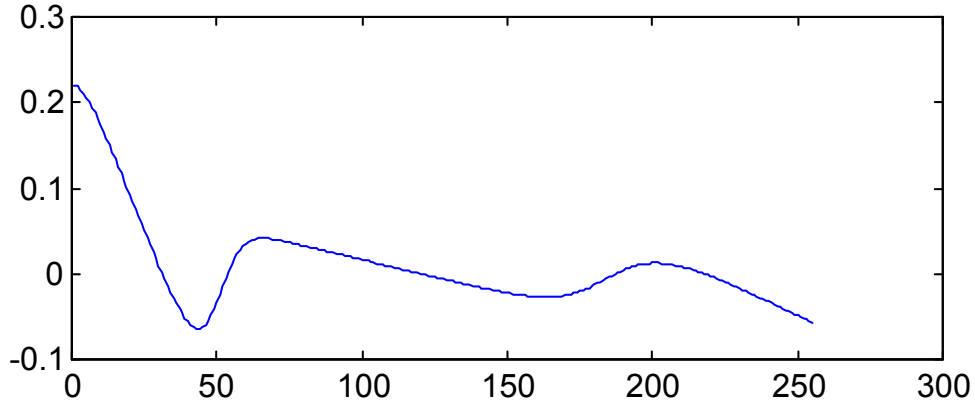


Fig. 3.2: Aplicarea metodei Bhattacharyya pentru histograma trimodală prezentată anterior; se pot observa intervalele pe care funcția este liniară și descrescătoare, ce corespund modurilor.

3.3 Segmentarea cu prag optim

Metoda de segmentare cu prag optim face apel la teoria deciziilor (criteriul de decizie Bayes) pentru stabilirea valorii pragurilor de segmentare ce optimizează un anumit criteriu de eroare. Informațiile apriori necesare pentru aplicarea unei asemenea tehnici sunt numărul de tipuri de obiecte din imagine, C , procentele de ocupare a imaginii de către fiecare tip de obiecte, P_i și distribuția nivelelor de gri ce caracterizează fiecare tip de obiect, $p_i(x)$. Atunci histograma imaginii va fi determinată de mixtura distribuțiilor tipurilor de obiecte:

$$h(x) = \sum_{i=1}^C P_i p_i(x) \quad (3.5)$$

$$\sum_{i=1}^C P_i = 1$$

Criteriul ce se urmărește optimizat este eroarea de segmentare (clasificare) a punctelor din imagine, adică este dat de numărul de pixeli ce aparțin primului tip de obiect, dar au nivelul de gri mai mare ca pragul T (fiind deci alocați greșit celui de-al doilea tip de obiect) și numărul de pixeli ce aparțin celui de-al doilea tip de obiect, dar au nivelul de gri mai mic decât pragul de segmentare T (fiind deci alocați greșit primului tip de obiect). Așadar, eroarea de segmentare va fi dată de (3.6):

$$E(T) = P_1 \int_T^{+\infty} p_1(x) dx + P_2 \int_{-\infty}^T p_2(x) dx \quad (3.6)$$

Pentru ipoteza uzuală de modelare a histogramei imaginii ca o mixtură de moduri gaussiene se obține:

$$T^2 \left(\frac{1}{\sigma_1^2} - \frac{1}{\sigma_2^2} \right) - 2T \left(\frac{\mu_1}{\sigma_1^2} - \frac{\mu_2}{\sigma_2^2} \right) + \left(\frac{\mu_1^2}{\sigma_1^2} - \frac{\mu_2^2}{\sigma_2^2} \right) - 2 \ln \frac{P_1 \sigma_2}{P_2 \sigma_1} = 0$$

Una dintre simplificările uzuale este presupunerea că $\sigma_1 = \sigma_2 = \sigma$; această presupunerea implică modelarea imaginii în nivele de gri ca o imagine cu doar două nivele de gri μ_1 și μ_2 , afectată de un zgomot Gaussian aditiv, având varianța σ^2 . În aceste condiții, ecuația de gradul 2 devine o ecuație liniară, a carei soluție este:

$$T = \frac{\mu_1 + \mu_2}{2} - \frac{\sigma^2}{\mu_1 - \mu_2} \ln \frac{P_1}{P_2} \quad (3.7)$$

3.4 Desfășurarea lucrării

1. Urmăriți modul complet de utilizare a funcției **gausmixt** și modul în care a fost scrisă.
 \gg *help gausmixt*
 \gg *type gausmixt*
2. Construiți mai multe mixturi de distribuții gaussiene, cu diferite medii, varianțe și factori proporționali și afișați-le. Generați mixturi cu 2, 3, 4, 5 și 10 moduri, ale căror medii sunt relativ apropiate sau distanțate.
 \gg *h=gausmixt([75 25;150 50]);*
 \gg *plot(h)*
3. Verificați pentru fiecare mixtură generată anterior dacă modurile ce o formează sunt bine separate (folosiți funcția **nakagawa**):
 \gg *help nakagawa*
 \gg *type nakagawa*
4. Pentru fiecare dintre mixturile generate anterior determinați parametrii statistici individuali ai modurilor prin metoda Bhattacharyya, pentru diferite dimensiuni *dim* ale intervalului pe care se impune ca funcția z (3.4) să fie descrescătoare (1, 2, 3, etc.):

```
>>help bhat
>>[prag, z, interval, param]=bhat(h, dim);
```

5. Comparați parametri determinați anterior cu parametri reali ai modurilor mixturii și trageți concluzii privind eficiența și precizia metodei Bhattacharyya. Intervalul “interval” identifică corect intervalele pe care le ocupă modurile reale ?
6. Construiți histograme bimodale cu parametri diferiți pentru cele două moduri (folosind funcția **gausmixt**). Calculați pragul de binarizare asociat respectivelor histograme prin diferitele metode, construiți un tabel care să conțină aceste valori și valoarea intuitivă. Reprezentați grafic histograma și vizualizați pragurile. Comentați rezultatele.

3.5 Probleme și întrebări

1. Se poate aproxima un mod cu distribuție uniformă plecând de la un mod Gaussian de dispersie foarte mare ?
2. Scrieți o funcție Matlab care să construiască o mixtură de moduri Gaussiene, uniforme, exponențiale și Rayleigh.
3. Generați o mixtură de moduri exponențiale și o mixtură de moduri uniforme. Aplicați metoda Bhattacharyya pentru respectivele distribuții și comentați rezultatele.
4. Segmentați imagini naturale folosind etichetarea cu nivelul de gri mediu (funcția **thresh** cu parametru de tip diferit de 1) și pragurile determinate de metoda Bhattacharyya aplicată histogramei imaginii; ceea ce rezultă este o aproximare a imaginii originale, dar cu un număr mai mic de nivele de gri (egal cu numărul de clase). Măsurăți calitatea acestei aproximări (se folosește funcția **graymas**) și compresia realizată (reducerea numărului de nivele de gri diferite din imagine).
5. Să se scrie o funcție Matlab care să implementeze binarizarea cu prag optim, în ipoteza modurilor Gaussiene.

Capitolul 4

Creșterea regiunilor

Pentru aplicarea cu succes a tehnicilor de segmentare pe histogramă prezentate anterior trebuie să îndeplinite neapărat câteva condiții (deja enunțate). Aplicarea tehnicilor de segmentare pe histogramă este condiționată în primul rând de reprezentarea diferitelor clase de obiecte din imagine pe intervale de nivele de gri diferite care nu se suprapun (sau se suprapun parțial pe porțiuni foarte mici); apoi este necesară cunoașterea numărului de tipuri de obiecte diferite. În fine, se presupune că valorile prag corespunzătoare se pot determina cu o precizie corespunzătoare.

Chiar în cazurile în care toate aceste condiții enunțate sunt îndeplinite, nu se poate garanta condiția de conexitate a regiunilor obținute în urma segmentării. Acest lucru este evident, atât timp cât două obiecte de același tip, neconexe, primesc prin segmentarea pe histogramă o aceeași etichetă, și formează în imaginea de etichete o regiune neconexă. Creșterea regiunilor respectă toate condițiile impuse de definiția matematică a segmentării.

Principiul pe care se bazează creșterea regiunilor este simplu: se aleg în imagine puncte reprezentative pentru fiecare obiect individual și categorie de obiecte, pe baza cărora are loc un proces de aglomerare a pixelilor vecini acestora, ce au aceleași proprietăți (în particular același nivel de gri). În urma acestui proces de aglomerare (adăugare de puncte) se obțin zone (regiuni) de pixeli cu aceleași caracteristici, deci obiecte individuale. Procesul se oprește în momentul în care fiecare punct al imaginii a fost alocat unei regiuni. Evident, metoda astfel descrisă pe scurt, are două etape esențiale: alegerea punctelor de start (puncte inițiale), numite germeni sau semințe, și creșterea propriu-zisă a regiunilor.

Numărul final de regiuni rezultate este egal cu numărul de germeni aleși inițial pentru creștere. În principiu, este de dorit ca fiecare obiect individual aflat în imagine să fie marcat de câte un germen. Dacă în interiorul aceluiași obiect se găsesc mai mulți germeni, pentru fiecare dintre ei va fi crescută o regiune; aceasta face ca obiectul inițial

să fie împărțit artificial prin segmentare în mai multe regiuni. Parțial, acest neajuns se poate corecta printr-o etapă ce urmează creșterii regiunilor, și anume fuziunea regiunilor adiacente ce au proprietăți asemănătoare. Dacă în interiorul unui obiect nu este ales nici un germene, obiectul respectiv va fi înglobat de regiunile ce cresc pornind de la germeni din vecinătatea sa spațială; astfel, respectivul obiect nu apare ca o regiune distinctă și este pierdut, rezultând o eroare gravă de segmentare.

Pentru a preveni efectul unor neuniformități de iluminare pe suprafața imaginii, aceasta este împărțită în ferestre nesuprapuse; în fiecare astfel de fereastră se alege un număr de germeni, al căror plasament spațial este aleator (germenii se distribuie uniform pe suprafața imaginii). Germeții se aleg astfel încât nivelul lor de gri să fie reprezentativ pentru obiectele prezente local (deci nivelul de gri al germeților trebuie să corespundă unor maxime ale histogramei locale). În plus, trebuie verificat ca plasamentul spațial al germeților să se facă în interiorul regiunilor și nu pe frontiera acestora. Verificarea se poate face simplu pe baza calculului unui operator derivativ local, ca de exemplu laplacianul; dacă valoarea acestuia nu depășește un anumit procent prestabilit (10% - 20%) din diferența maximă de nivele de gri a ferestrei, punctul ales este considerat ca plasat corect.

Valorile procentuale ale pragurilor de comparație, precum și numărul de germeni distincți ce rămân după procesul de reducere, nu trebuie considerate ca fixe; nu există valori standardizate și alegerea acestora se face pe baza condițiilor particulare (legate de conținutul imaginii) și a experienței utilizatorului.

Pornind de la germeții aleși, regiunile sunt obținute printr-un proces de creștere aproape simultană, început de la aceștia, până când toți pixelii imaginii sunt repartizați unei regiuni. Cvasi-simultaneitatea creșterii poate fi realizată cu un algoritm serial, prin alocarea pixelilor ce sunt adiacenți (vecini) zonelor deja segmentate. Această alocare trebuie să țină seama de criteriul ca regiunile crescute să fie uniforme: nivelul de gri al pixelului ce se adaugă nu trebuie să difere cu mai mult de un prag prestabilit față de nivelul de gri al germeților regiunii la care se alocă. În același timp, la o singură trecere, numărul de puncte ce se adaugă unei regiuni nu poate depăși un număr prestabilit (condiția încearcă să asigure creșterea relativ uniformă și izotropă a tuturor regiunilor).

Dacă adăugarea de noi pixeli se blochează (criteriul de uniformitate nu mai este respectat), diferența maxim admisă pentru nivelul de gri poate fi crescută în etape, până la epuizarea pixelilor imaginii.

Avantajele pe care le are o asemenea tehnică de creștere a regiunilor sunt acelea că nu mai este necesară nici o informație privind conținutul imaginii, regiunile crescute sunt conexe și nu există puncte neetichetate (nealocate vreunei regiuni), iar poziția frontierelor dintre diferitele regiuni corespunde poziției frontierelor percepute subiectiv în imagine.

4.1 Desfășurarea lucrării

1. Urmăriți modul de folosire și modul de scriere a funcției de creștere a regiunilor, **grow_reg** (folosiți comenzile Matlab **help** și **type**).
2. Pentru imaginile disponibile urmăriți rezultatele procesului de creștere a regiunilor folosind diferiți parametri de reglaj (toleranța la modificarea nivelelor de gri, dimensiune maximă a regiunii) și diferiți germeni. De exemplu:

```
»x=imread('lena128', 128);
```

```
»[pozitii, valori]=grow_reg(x, 100, 100, 20, 100);
```

Pentru a vizualiza regiunea astfel crescută, executați

```
»h=histo(x);
```

```
»rez=find(h==0);
```

```
»map=gray(256); map(rez(1), 1)=1; map(rez(1), 2)=0; map(rez(1), 3)=0;
```

```
»y=x; [t,tt]=size(pozitii); y(pozitii)=rez(1)*ones(t);
```

```
»figure, image(y), colormap(map), colorbar
```

3. Modificați comenzile anterioare astfel încât regiunea crescută să fie reprezentată în nivelul său mediu de gri.

4.2 Probleme și întrebări

1. Găsiți o legătură între pragul de toleranță la diferența de nivele de gri pentru creșterea unei regiuni și eroarea de aproximare a zonei respective din imagine prin nivelul de gri mediu al regiunii crescute.
2. Determinați o modalitate automată de determinare a pragului de toleranță la diferența de nivele de gri.
3. Scrieți o funcție Matlab care să realizeze inițializarea germenilor pentru segmentarea unei imagini prin creștere regiunilor.

Capitolul 5

Etichetarea imaginilor binare

Scopul acestei lucrări este studiul unor metode de etichetare a imaginilor binare - alocarea la toate punctele aceluiasi obiect din imagine o aceeași etichetă și eventual extragerea obiectelor individuale din imagine.

5.1 Etichetarea secvențială iterativă

Etichetarea secvențială iterativă se bazează pe perechi de baleiaje ale imaginii (baleiaj direct, de la stânga la dreapta și de sus în jos și baleiaj invers, de la dreapta la stânga și de jos în sus).

Un pseudocod ce implementează algoritmul propus este prezentat în continuare:

repetă

 baleiaj direct:

dacă punctul curent este punct de obiect, **atunci**

dacă punctul curent are predecesori etichetați, **atunci**

 punctul curent ia eticheta minimă a predecesorilor

altfel

dacă acesta este primul baleiaj direct, **atunci**

 punctul curent ia o etichetă nouă

 baleiaj invers:

dacă punctul curent este punct de obiect, **atunci**

dacă punctul curent are predecesori etichetați, **atunci**

 punctul curent ia eticheta minimă a predecesorilor

pâna când etichetele nu se mai modifică

Observație 4 *Atenție: toate funcțiile de citire a imaginilor indexate din fișiere (**imgread**, **bmp8rd**, etc.) generează imagini cu indici ce încep cu valoarea 1 și nu 0. În aceste condiții, punctele de fundal ale imaginilor binare nu mai sunt descrise de valoarea 0 ci de valoarea 1. De asemenea, este posibil ca punctele de obiect să fie descrise la rândul lor fie de valoarea 2 (ce provine din 1 incrementat), fie de valoarea 256 (ce provine din 255 incrementat).*

Etichetele vor fi numerice, începând cu valoarea 1.

5.2 Etichetarea cu corespondență între etichete

Dezavantajul principal al algoritmului anterior este că nu se rețin echivalențele determinate pentru etichete, ci modificările se efectuează punctual. O îmbunătățire a performanțelor acestui algoritm se realizează prin gestionarea unui tabel de echivalență (corepondență) a etichetelor.

Fie T tabelul de corespondență între etichete; o intrare a tabelului $T(j) = v$ înseamnă că eticheta j este echivalentă etichetei v ; la pornirea algoritmului, fiecare intrare a tabelului este inițializată cu valoarea indicelui acesteia ($T(j) = j$). Actualizarea tabelului se face în două situații:

- dacă punctul curent nu are nici un predecesor punct de obiect, atunci acesta trebuie să primească o nouă etichetă, care se adaugă la “coada” tabelului de echivalență ca $T(j_{\max}) = j_{\max}$
- dacă punctul curent are predecesori etichetați, atunci acesta va primi eticheta minimă a acestora și în tabelul de corespondență trebuie înscris faptul că la toate etichetele punctelor ce au intervenit în calcul (predecesorii punctului curent) va corespunde o aceeași etichetă, și anume eticheta de valoare minimă a acestora. Dacă punctul curent are predecesorii P_1, P_2, P_3, P_4 (cel mult patru predecesori, în cazul folosirii conexității V_8), atunci fie $m = \min(P_i)$. Varianta pseudocod a prelucrării este prezentată în continuare.

pentru toți predecesorii P

cât timp $T(P_i) \neq m$ **execută**

$temp = T(P_i)$

$T(P_i) = m$

$P_i = temp$

După primul baleiaj al imaginii, tabelul de corespondență este actualizat astfel încât la fiecare indice să corespundă eticheta finală a obiectului; etichetele atribuite obiectelor nu vor fi neapărat în ordine. Pseudocodul corespunzător acestei prelucrări este:

```

pentru  $j$  de la 1 la  $j_{\max}$ 
     $k = j$ 
    cât timp  $T(k) \neq k$  execută
         $k = T(k)$ 
     $T(j) = k$ 

```

Ultima parte a algoritmului constă în construirea imaginii finale de etichete prin înlocuirea în imaginea intermediară de etichete a fiecărei valori j cu $T(j)$.

5.3 Etichetarea prin propagarea etichetelor

O metodă alternativă de etichetare este extragerea fiecărui obiect individual în parte. Pentru aceasta trebuie întâi detectat un punct al obiectului (de exemplu primul punct de obiect întâlnit la baleiajul direct al imaginii), începând de la care se “crește” obiectul, lipind punctele de obiect care sunt vecine, până în momentul în care nu mai există puncte de obiect vecine. Toate punctele astfel determinate formează un unic obiect și capătă deci o unică etichetă; procedeul se reia pentru celelalte obiecte din imagine. Codul de bază care realizează această operație este dat în continuare.

| | |
|---|--|
| <pre> function out=etichete(in,val_obj) out=ones(size(in)); [h,w]=size(in); val=2; p=find(in==val_obj); while (p~=[]) seed_i=rem(p(1),h); seed_j=fix(p(1)/h)+1; sir=grow_reg(in,seed_i,seed_j,0); p=(sir(:,2)-1)*h+sir(:,1); out(p)=val*ones(size(p)); in(p)=zeros(size(p)); val=val+1; p=find(in==val_obj); end </pre> | <pre> definiția funcției inițializare imagine de etichete dimensiuni imagine prima etichetă obiect primul punct al primului obiect pentru toate obiectele imaginii coordonatele primului punct al obiectului curent se crește regiunea coordonatele punctelor regiunii capătă eticheta curentă și nu se mai ia în calcul eticheta următoare obiectul următor gata </pre> |
|---|--|

De exemplu, pentru a eticheta o imagine binară in ce are fundalul de valoare 1 și obiectele de valoare 256 se folosește:

```
»out=etichete(in, 256);
```

Afișarea confortabilă (afișarea fiecărui obiect cu o altă culoare) a hărții de etichete se poate face cu una dintre secvențele:

```
»image(out),colormap(rand(max(out(:)),3)),colorbar
```

```
»image(out),colormap(hsv(max(out(:))))),colorbar
```

5.4 Desfășurarea lucrării

1. Se încarcă imaginile binare disponibile și se etichetează, folosind funcția **etichete**. Se măsoară de fiecare dată timpul necesar etichetării (folosind comenzile **tic** și **toc** ale Matlab) și numărul de parcurgeri ale imaginii de către funcție. Aceste rezultate se trec într-un tabel.
2. Se repetă calculele folosind funcția Matlab care realizează etichetarea imaginilor binare prin baleiaj cu tabel de corespondență între etichete (funcția **etic1**).

5.5 Întrebări și probleme

1. Din ce cauză, la vizualizarea imaginii etichetate, este posibil să apară uneori două culori diferite pentru un același obiect, sau pot apărea obiecte diferite de aceeași culoare ?
2. Se scrie o funcție Matlab care să realizeze etichetarea imaginilor binare prin baleiaj secvențial iterativ. Să se testeze funcția pe imaginile binare disponibile. Să se măsoare timpul de rulare și numărul de baleiaje ale imaginii.
3. Să se compare cele trei metode de etichetare pe baza timpului de rulare și a numărului de parcurgeri a imaginilor.

Capitolul 6

Extragerea contururilor

Într-o imagine, variațiile de valoare ale pixelilor reprezintă schimbări ale proprietăților fizice sau geometrice ale scenei sau ale obiectului observat. Aceste schimbări pot corespunde fizic la variațiile iluminării, schimbările de orientare sau de distanță față de observator, schimbări de reflectanță ale suprafețelor, variații de absorbție a radiației. Într-un număr mare de cazuri, aceste variații de intensitate sunt informații importante pentru operațiile ce urmează segmentării, informații ce corespund frontierelor regiunilor determinate de obiectele scenei.

6.1 Metoda de gradient

Principiul acestei metode constă în definirea punctelor de contur ca fiind acei pixeli ai imaginii în care apar schimbări importante (abrupte) ale nivelului de gri. Deci, măsurarea acestei variații se va face prin operatori derivativi de tip gradient. Pentru o imagine cu suport spațial continuu, pe direcția unei muchii, derivata va fi maximă. Derivata imaginii pe direcția r , ce face unghiul θ cu orizontala, este dată de combinația liniară a derivatelor parțiale pe direcțiile orizontală și verticală (6.1):

$$\begin{aligned}\frac{\partial f}{\partial r} &= \frac{\partial f}{\partial x} \frac{\partial x}{\partial r} + \frac{\partial f}{\partial y} \frac{\partial y}{\partial r} = \frac{\partial f}{\partial x} \cos \theta + \frac{\partial f}{\partial y} \sin \theta \\ \frac{\partial f}{\partial r} &= f_x \cos \theta + f_y \sin \theta\end{aligned}\tag{6.1}$$

Valoarea maximă a acestei derivate, calculate după unghiul θ este dată de ecuația

$$\frac{\partial}{\partial \theta} \left(\frac{\partial f}{\partial r} \right) = -f_x \sin \theta + f_y \cos \theta = 0$$

ce are soluția evidentă:

$$\theta_0 = \arctan\left(\frac{f_y}{f_x}\right) \quad (6.2)$$

Pe această direcție, modulul gradientului este:

$$\left(\frac{\partial f}{\partial r}\right)_{\max} = \sqrt{f_x^2 + f_y^2} \quad (6.3)$$

Din punct de vedere practic, implementarea acestei metode impune calcularea, pentru fiecare punct al imaginii, a derivatelor parțiale f_x și f_y , calcularea modulului gradientului maxim (6.3) și a direcției acestuia (6.2). Valoarea gradientului maxim din fiecare punct al imaginii este apoi comparată cu un prag fixat: dacă pragul este depășit (deci gradientul maxim în pixelul respectiv este suficient de important) atunci pixelul testat este pixel de contur.

Realizarea derivatelor parțiale după direcțiile orizontală și verticală implică translația în discret a lui f_x și f_y :

$$f_x = \frac{\partial f}{\partial x} = \frac{\Delta f(m, n)}{\Delta m}$$

$$f_y = \frac{\partial f}{\partial y} = \frac{\Delta f(m, n)}{\Delta n}$$

Aceste derivate parțiale discrete pot avea mai multe implementări:

$$f_x = f(m, n) - f(m + 1, n), \quad f_y = f(m, n) - f(m, n + 1) \quad (6.4)$$

$$f_x = f(m - 1, n) - f(m, n), \quad f_y = f(m, n - 1) - f(m, n) \quad (6.5)$$

$$f_x = f(m - 1, n) - f(m + 1, n), \quad f_y = f(m, n - 1) - f(m, n + 1) \quad (6.6)$$

Toate expresiile date de (6.4), (6.5), (6.6) sunt combinații liniare ale valorilor unor pixeli din imagine, situați în vecinătatea pixelului curent din poziția (m, n) . Deci toate aceste operații se pot realiza prin filtrări liniare cu măști potrivite: (6.7) pentru (6.4), (6.8) pentru (6.5), (6.9) pentru (6.6).

$$W_x = \begin{pmatrix} \blacksquare & -1 \end{pmatrix}, \quad W_y = \begin{pmatrix} \blacksquare \\ -1 \end{pmatrix} \quad (6.7)$$

$$W_x = \begin{pmatrix} 1 & \blacksquare \end{pmatrix}, \quad W_y = \begin{pmatrix} 1 \\ \blacksquare \end{pmatrix} \quad (6.8)$$

$$W_x = \begin{pmatrix} 1 & \blacksquare & -1 \end{pmatrix}, \quad W_y = \begin{pmatrix} 1 \\ \blacksquare \\ -1 \end{pmatrix} \quad (6.9)$$

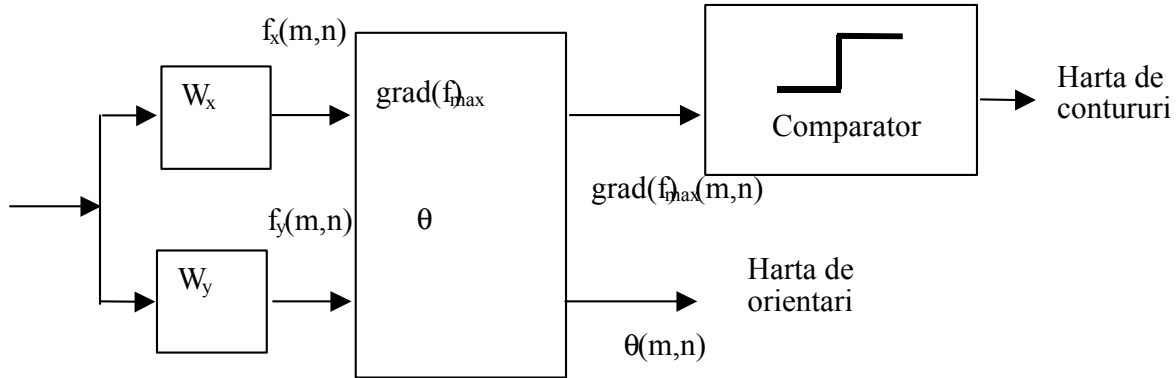


Fig. 6.1: Schema bloc a extractorului de contururi bazat pe metoda de gradient.

Schema bloc a extragerii de contururi este reprezentată în figura 6.1.

Harta de orientări este o imagine care conține, pentru fiecare pixel, orientarea gradientului de modul maxim în punctul respectiv, și este în general folosită la prelucrarea suplimentară a conturilor (conectare de contururi, extragere direcțională de contururi). Harta de contururi este o imagine binară în care punctele marcate (puncte-obiect) corespund poziției punctelor de contur (puncte cu gradient de modul mare). O simplificare uzuală practică este înlocuirea normei L2 din calculul modului maxim al gradientului (6.3) cu norma L1, ceea ce conduce la aproximarea:

$$\left(\frac{\partial f}{\partial r}\right)_{\max} \approx |f_x| + |f_y|$$

Folosirea măștilor de derivare pe verticală și orizontală prezentate are însă serioase neajunsuri: dimensiunea lor mică face ca rezultatele să fie extrem de sensibile la zgomot. În aceste condiții a apărut naturală ideea de a combina filtrarea de derivare cu o filtrare de netezire, care să mai reducă efectele zgomotului. Considerând zgomotul de tip gaussian, aditiv, filtrarea de netezire are ca efect secundar micșorarea contrastului frontierelor obiectelor din imagine (efectul de încetșoare, sau *blur*). Pentru ca în aceste condiții detecția conturilor să nu fie afectată, trebuie ca operația de mediere prin care se realizează netezirea să se facă pe o direcție perpendiculară direcției conturilor căutate. Atunci derivarea pe verticală se combină cu o operație de netezire cu mască orizontală

$\begin{pmatrix} 1/3 & \boxed{1/3} & 1/3 \end{pmatrix}$ și derivarea pe orizontală se combină cu o operație de netezire cu mască verticală
 $\begin{pmatrix} 1/3 \\ \boxed{1/3} \\ 1/3 \end{pmatrix}$.

Dacă folosim pentru derivare masca W_y din (6.7), masca de filtrare rezultantă va fi

$$\begin{pmatrix} 1/3 & \boxed{1/3} & 1/3 \\ -1/3 & -1/3 & -1/3 \end{pmatrix}$$

În cazul general se pot folosi însă

pentru netezire medieri ponderate (și nu neapărat medieri aritmetice), care să acorde o mai mare importanță pixelului curent prelucrat, ca de exemplu $\frac{1}{c+2} \begin{pmatrix} 1 & \blacksquare & 1 \end{pmatrix}$ și se preferă folosirea operatorilor de derivare simetrici, de tipul (6.9). Ceea ce rezultă pentru operatorii de derivare orizontală și verticală sunt măștile:

$$W_x = \begin{pmatrix} 1 & 0 & -1 \\ c & \blacksquare & -c \\ 1 & 0 & -1 \end{pmatrix}, W_y = \begin{pmatrix} 1 & c & 1 \\ 0 & \blacksquare & 0 \\ -1 & -c & -1 \end{pmatrix} \quad (6.10)$$

Prin particularizarea valorilor constantei de ponderare c se pot obține diferite tipuri de operatori de extragere de contur clasici: Prewitt ($c = 1$), Izotrop ($c = \sqrt{2}$), Sobel ($c = 2$). Se remarcă faptul că constanta de ponderare globală a măștii de filtrare este neesențială, întrucât condiția de normare ce trebuie îndeplinită este cea pentru filtre de contrastare (derivare): suma coeficienților măștii să fie nulă.

6.2 Operatori compas

Informația de orientare este în general folosită în etape următoare ale prelucrării; unghiurile determinate după (6.2) oferă un unghi “exact” al direcției conturului în punctul curent, calculat cu un efort semnificativ de calcul (împărțire și calcul de arctangentă). În practică, această informație este prea exactă: pe grila pătrată de eșantionare nu se pot reprezenta cu ușurință drepte continue după orice direcție; câteva direcții sunt favorizate și ușor de utilizat (vertical, orizontal, cele două diagonale). În acest caz se poate măsura în fiecare punct modulul gradientului după aceste câteva direcții importante, și apoi se poate alege direcția după care acest modul este maxim. Acesta este principul operatorilor compas.

Un operator compas este definit de un număr de măști de derivare (corespunzătoare în continuare unor filtrări liniare) pe direcțiile principale (vertical, orizontal, cele două diagonale), în cele două sensuri. Compasul clasic are $D = 8$ măști de filtrare (identice două câte două, mai puțin semnul), fiecare dintre ele realizând o derivare după o direcție multiplu de 45° . Schema bloc a unui operator compas este prezentată în figura 6.2; se remarcă faptul că, odată determinată valoarea maximă a modulului gradientului în pixelul curent (m, n) , obținerea hărții de contururi se face ca și la un operator de gradient clasic.

Un exemplu de măști de derivare direcțională sunt măștile următoare (indexate după direcția geografică pe care calculează derivata): $W_N = \begin{pmatrix} -1 & -1 & -1 \\ 0 & \blacksquare & 0 \\ 1 & 1 & 1 \end{pmatrix}$, $W_{NV} =$

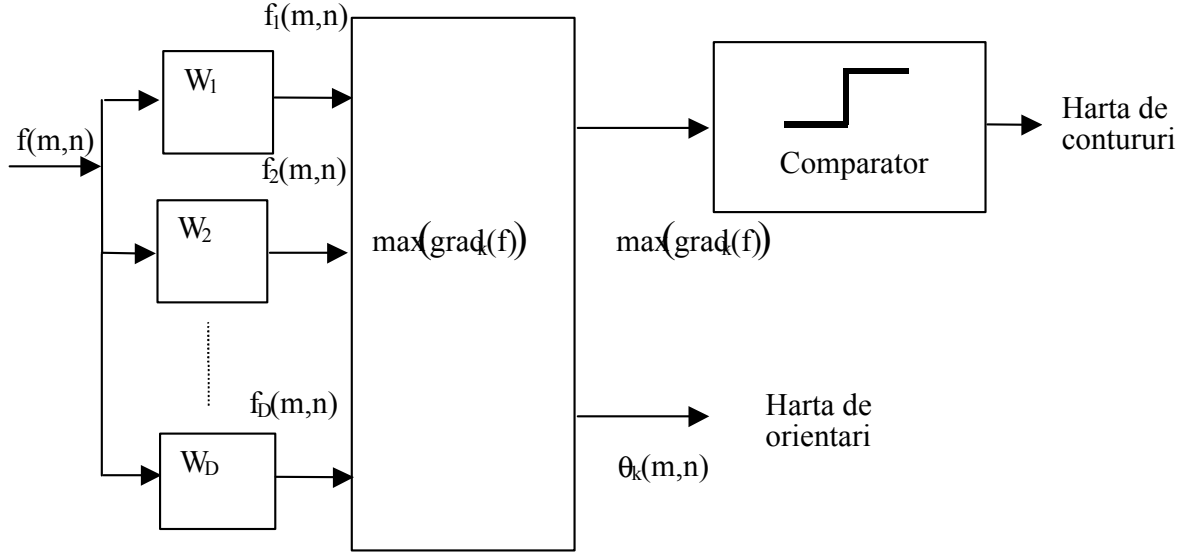


Fig. 6.2: Schema bloc a unui operator compas de extragere a conturilor.

$$\begin{pmatrix} -1 & -1 & 0 \\ -1 & \mathbf{0} & 1 \\ 0 & 1 & 1 \end{pmatrix}, W_V = \begin{pmatrix} -1 & 0 & 1 \\ -1 & \mathbf{0} & 1 \\ -1 & 0 & 1 \end{pmatrix}, W_{SV} = \begin{pmatrix} 0 & 1 & 1 \\ -1 & \mathbf{0} & 1 \\ -1 & -1 & 0 \end{pmatrix}, W_S = \begin{pmatrix} 1 & 1 & 1 \\ 0 & \mathbf{0} & 0 \\ -1 & -1 & -1 \end{pmatrix}, \\ W_{SE} = \begin{pmatrix} 1 & 1 & 0 \\ 1 & \mathbf{0} & -1 \\ 0 & -1 & -1 \end{pmatrix}, W_E = \begin{pmatrix} 1 & 0 & -1 \\ 1 & \mathbf{0} & -1 \\ 1 & 0 & -1 \end{pmatrix}, W_{NE} = \begin{pmatrix} 0 & -1 & -1 \\ 1 & \mathbf{0} & -1 \\ 1 & 1 & 0 \end{pmatrix}. \text{ După cum}$$

se remarcă, familia de măști se poate genera pornind de la una dintre măștile Prewitt, prin translații circulare cu o poziție a frontierei măștii în jurul centrului ei; în mod analog se pot obține operatori compas bazați pe masca Sobel sau pe gradientul izotrop sau pe masca Kirsch $\begin{pmatrix} 5 & 5 & 5 \\ -3 & \mathbf{0} & -3 \\ -3 & -3 & -3 \end{pmatrix}$. Precizia unghiulară a operatorilor compas este deci determinată de numărul de orientări diferite pe care se calculează derivatele, și deci de numărul de translații ale frontierei măștii; pentru o mască pătrată de bază de dimensiune N , precizia unghiulară a operatorului compas este de $90^\circ/(N-1)$.

6.3 Operatori laplacieni

Unul dintre principalele dezavantaje ale metodelor de gradient este precizia slabă de localizare a conturului (a centrului tranziției) în condițiile unei pante puțin abrupte a acestuia (tranziții slabe, graduale). Derivata a doua poate fi însă folosită pentru a determina capetele tranziției (cele două extreme), sau pentru a marca centrul tranziției

(trecerea sa prin zero). Operatorul bazat pe trecerea prin zero a derivatei secunde este operatorul “zero-crossing”. În cazul imaginilor (semnale cu suport bidimensional) trebuie luată în considerare derivata secundă după ambele direcții, combinate în laplacian:

$$\Delta f = \frac{\partial^2 f}{\partial x^2} + \frac{\partial^2 f}{\partial y^2}$$

În cazul discret, măști ce implementează laplacianul sunt măștile $WL_1 - WL_3$, $WL_1 = \begin{pmatrix} 0 & -1/4 & 0 \\ -1/4 & \boxed{1} & -1/4 \\ 0 & -1/4 & 0 \end{pmatrix}$, $WL_2 = \begin{pmatrix} 1/4 & -1/2 & 1/4 \\ -1/2 & \boxed{1} & -1/2 \\ 1/4 & -1/2 & 1/4 \end{pmatrix}$, $WL_3 = \begin{pmatrix} -1/8 & -1/8 & -1/8 \\ -1/8 & \boxed{1} & -1/8 \\ -1/8 & -1/8 & -1/8 \end{pmatrix}$. Operatorii laplacieni au o sensibilitate crescută în prezența zgomotelor (mai mare decât a operatorilor de gradient) și nu mai conțin informație relativă la direcția tranziției.

6.4 Desfășurarea lucrării

1. Inițializați diferitele măști ce vor fi folosite pentru calculul gradientului:

```

>>prewitt=[1 1 1;0 0 0;-1 -1 -1];
>>izotrop=[1 sqrt(2) 1;0 0 0;-1 -sqrt(2) -1];
>>sobel=[1 2 1;0 0 0;-1 -2 -1];
>>kirsch=[5 5 5;-3 0 -3;-3 -3 -3];

```

Se încarcă una dintre imaginile disponibile:

```

>>x=imread('nume_image', 128);

```

2. Se construiește harta de intensități de tranziție prin metoda de gradient cu diferitele măști (*prewitt*, *izotrop*, *sobel*, *kirsch*) și se extrage conturul folosind diferite valori pentru pragul de binarizare (decizie punct de contur sau nu, între 1 și 256) și se vizualizează rezultatele.

```

>>harta=gradient(x, masca);
>>contur=255*(thresh(e,prag)-1)+1;
>>figure; subplot(2,2,1), image(x), colormap(gray(256))
>>subplot(2,2,3), image(harta), subplot(2,2,4), image(contur)

```

3. Repetați calculele folosind un operator compas (se folosesc aceleași măști, aceleași imagini, același mod de binarizare și vizualizare a rezultatelor ca anterior):

```

>>harta=compas(x, masca);

```

4. Inițializați diferitele măști ce vor fi folosite pentru calculul operatorului zero-crossing (măști de laplacian):

»lapl1=[0 -0.25 0;-0.25 1 -0.25;0 -0.25 0];

»lapl2=[0.25 -0.5 0.25;-0.5 1 -0.5;0.25 -0.5 0.25];

»lapl3=[-1 -1 -1;-1 8 -1;-1 -1 -1]/8;

Folosiți aceste măști pentru a calcula harta de intensități de tranziție (cu funcți a **gradient**) și apoi extrageți conturul prin binarizare.

5. Construiți o hartă de intensități de tranziție printr-un operator de tip gradient morfologic (dilatare - erodare, cu element structurant V_8) și extrageți apoi conturul prin binarizare:

»harta=lfiter(x,[-1/2 0 0 0 0 0 0 0 1/2]);

6. Aplicați zgomot Gaussian, uniform și impulsiv imaginii de test și repetați secvența de măsurători pentru extragerea conturilor. Ce concluzii se pot trage cu privire la rezistența la zgomot a operatorilor de extragere a conturilor prezentați ? Imaginea degradată cu zgomot Gaussian (normal) de medie nulă și dispersie 5 poate fi obținută prin secvența de comenzi de mai jos; pentru un zgomot uniform se înlocuiește funcția **randn** cu **rand**.

»zg=fix(5*randn(size(x))); xzg=x+zg;

»p=find(xzg<1); xzg(p)=ones(size(p));

»p=find(xzg>256); xzg(p)=256*ones(size(p));

7. Reluați extragerea conturilor pentru cazul imaginilor degradate de zgomot aplicând înaintea extractoarelor de contur o operație de filtrare care să reducă zgomotul.

6.5 Întrebări și probleme

1. Implementați o funcție Matlab care să realizeze detecția punctelor în care laplacianul trece prin zero (deci își schimbă semnul).
2. Realizați un set de funcții care să genereze o imagine de test compusă din două benzi uniforme verticale, de nivel de gri specificat, și frontiera corectă și apoi să determine cantitativ precizia cu care a fost extras conturul din imaginea de test degradată cu un zgomot oarecare (de exemplu se poate determina matricea de confuzie: numărul de puncte de tip regiune și respectiv contur corect identificate, număr de puncte de contur determinate eronat ca puncte de regiune și număr de puncte de regiune determinate în mod eronat ca puncte de contur).

Capitolul 7

Caracterizarea texturilor

Dicționarele lingvistice definesc textura ca o proprietate a constituției generale a unui corp solid (sau ca constituția unei roci sau a unui aliaj din punctul de vedere al orientării în spațiu a părților componente) sau ca un atribut caracteristic al unei stoffe (sau material textil) care este urzit sau țesut. Textura este observată în configurația structurală a obiectelor, a lemnului, a nisipului, a vegetației, aglomerărilor de granule. Textura este descrisă în termeni lingvistici prin rugozitate, contrast, finețe, regularitate, termeni a căror traducere matematică nu este clară. Câteva exemple de texturi sunt prezentate în Figura 7.1.

La o scară dată, orice textură are același aspect, indiferent de zona observată. Corespunzând diferitelor teorii relative la percepția vizuală a texturii, au fost propuse două modele principale de descriere a texturilor:

- abordarea deterministă se referă la repetarea spațială a unui motiv de bază, pe diferite direcții. Această abordare corespunde unei viziuni macroscopice, întâlnită de altfel în cazul țesăturilor, fragmentelor de piele de reptilă și a modelelor de tip mozaic (mozaicul de pe pardoseală, parchetul). Elementul repetitiv de bază poartă numele de texon sau texel - "texture element" - (prin similaritate cu denumirea de "pixel").
- abordarea probabilistă (statistică) se referă la caracterizarea atributelor anarhice și omogene în același timp, care nu țin nici de un element de bază localizabil (motiv), nici de o frecvență principală de repetiție.

În mod evident, mai există și o abordare mixtă, care consideră textura ca o structură spațială constituită din mai multe motive de bază, dipuse în mod aleator (în spațiu și în amplitudine). În cele ce urmează vom aborda doar metodele de caracterizare a texturilor

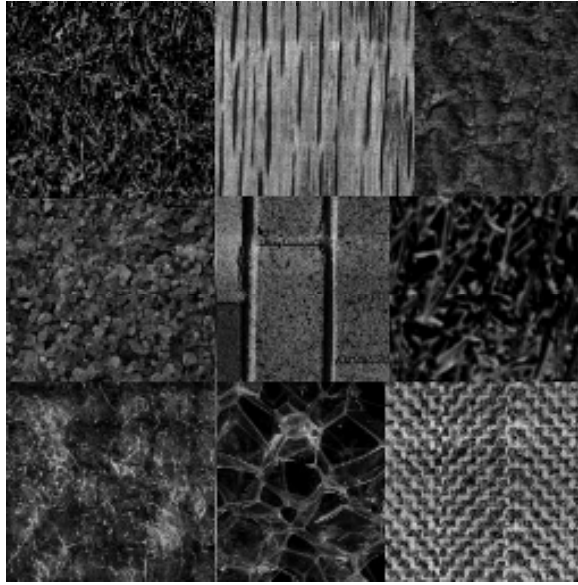


Fig. 7.1: Mozaic din diferite texturi

ce se bazează pe presupunerea caracterului predominant aleator al acestora; vom prezenta astfel caracterizarea texturilor prin matrici de coocurență, prin izosegmente și prin tehnici frecvențiale.

7.1 Caracterizarea texturilor prin matrici de coocurență

Matricea de coocurență este formată din medii spațiale de ordinul doi (deci probabilități de apariție în textură a unor perechi de nivele de gri). Pentru o regiune R a texturii studiate și pentru un vector de translație spațială plană \mathbf{t} dat, componentele matricii de coocurență se definesc pentru toate perechile posibile de nivele de gri (a, b) ca (7.1):

$$M_{\mathbf{t}}(a, b) = \text{Card} \{(\mathbf{x}, \mathbf{x} + \mathbf{t}) \in R \times R \mid f(\mathbf{x}) = a \text{ și } f(\mathbf{x} + \mathbf{t}) = b\} \quad (7.1)$$

Deci $M_{\mathbf{t}}(a, b)$ este numărul de perechi de pixeli din regiunea R , separate de vectorul de translație \mathbf{t} , care au respectiv valorile nivelelor de gri a și b . Pentru o imagine cu L nivele de gri, matricea de coocurență va fi o matrice pătrată de dimensiune L . În practică, pentru reducerea calculului, numărul de nivele de gri este redus la 8 sau la 16, printr-o tehnică convenabilă. În concluzie, pentru o aceeași textură, matricea de coocurență depinde de regiunea considerată, vectorul de translație și gradul (și modul) de reducere a nivelelor de gri.

Distincția între texturi diferite poate fi făcută în primul rând prin inspecția (examinarea de ansamblu) a matricii de coocurență, printr-o vizualizare tridimensională a matricii. În plus, se pot defini o serie de indici de natură statistică ce caracterizează distribuția componentelor matricii de coocurență. Aceste mărimi sunt:

Omogenitatea, definită de:

$$O = \frac{1}{N_{nz}} \sum_a \sum_b (M_{\mathbf{t}}(a, b))^2 \quad (7.2)$$

N_{nz} este numărul de poziții nenule din matricea de coocurență (deci numărul de perechi diferite de nivele de gri, așezate la un deplasament \mathbf{t} , ce se regăsesc în regiunea considerată). Acest indice (7.2) este cu atât mai mare cu cât se regăsește de mai multe ori o pereche de nivele de gri (deci unele poziții ale matricii au valori mult mai mari decât celelalte), ceea ce se întâmplă în general atunci când există o periodicitate în sensul translației.

Omogenitatea locală, definită de:

$$O_{loc} = \frac{1}{N_{nz}} \sum_a \sum_b \frac{1}{1 + (a - b)^2} M_{\mathbf{t}}(a, b) \quad (7.3)$$

Contrastul, definit de:

$$C = \frac{1}{N_{nz}(L - 1)^2} \sum_{k=0}^{L-1} k^2 \sum_{|a-b|=k} M_{\mathbf{t}}(a, b) \quad (7.4)$$

În această măsură fiecare termen al matricii de coocurență este ponderat cu distanța la diagonală. Astfel se obține un indice (7.4) ce corespunde interpretării uzuale a contrastului, și anume are o valoare mare atunci când termenii depărtați de diagonala principală a matricii au valori mari (adică atunci când există numeroase treceri de la pixeli luminoși la pixeli întunecați).

Entropia, definită de:

$$H = 1 - \frac{1}{N_{nz} \log N_{nz}} \sum_a \sum_b M_{\mathbf{t}}(a, b) \log M_{\mathbf{t}}(a, b) \delta(M_{\mathbf{t}}(a, b)) \quad (7.5)$$

Entropia este mică dacă o aceeași pereche de pixeli apare de multe ori și este mare dacă

toate perechile de nivele de gri sunt slab reprezentate. Aceasta este un indicator al dezordinii ce caracterizează textura.

Uniformitatea este definită de:

$$U = \frac{1}{N_{nz}^2} \sum_a M_{\mathbf{t}}^2(a, a) \quad (7.6)$$

Directivitatea este definită de:

$$U = \frac{1}{N_{nz}} \sum_a M_{\mathbf{t}}(a, a) \quad (7.7)$$

Uniformitatea și directivitatea sunt cu atât mai importante cu cât un unic nivel de gri apare de mai multe ori pe direcția de translație.

Corelația este definită de:

$$B = \frac{1}{N_{nz}\sigma_x\sigma_y} \sum_a \sum_b (a - \mu_x)(b - \mu_y)M_{\mathbf{t}}(a, b) \quad (7.8)$$

În expresia (7.8) μ_x și μ_y sunt mediile pe linii și respectiv pe coloane ale componentelor matricii de coocurență, iar σ_x și σ_y sunt dispersiile corespunzătoare (pe linii și pe coloane).

Dintre mărimile definite, se consideră că cele mai importante pentru caracterizarea texturii sunt omogenitatea (7.2), entropia (7.5), contrastul (7.4) și corelația (7.8).

7.2 Caracterizarea texturilor prin izosegmente

Un izosegment de nivele de gri (numit uneori și plajă sau “runlength”) este o mulțime liniară de pixeli consecutivi, având același nivel de gri, orientată pe o anumită direcție. Lungimea unui izosegment (a unei plaje) este numărul de pixeli ce formează respectiva mulțime.

Pentru o orientare (direcție) fixată θ , se poate determina o matrice de izosegmente, ale cărei elemente $M_{\theta}(a, b)$ reprezintă numărul de izosegmente de lungime b dată, formate din pixeli de un nivel de gri a dat și orientate pe direcția θ . Matricea rezultată are L linii (egal cu numărul de nivele de gri din imagine) și un număr de coloane egal cu lungimea maximă a izosegmentelor pe direcția dată (N_{θ}).

Aspectul acestei matrici este caracteristic unui anumit tip de textură; în plus, ca și pentru matricea de coocurență, se pot defini diferite mărimi caracteristice:

- $N_{iz} = \sum_{a=0}^{L-1} \sum_{b=1}^{N_\theta} M_\theta(a, b)$ (numărul de izosegmente)
- $RF_1 = \frac{1}{N_{iz}} \sum_{a=0}^{L-1} \sum_{b=1}^{N_\theta} \frac{M_\theta(a, b)}{b^2}$ (proporția plajelor mici)
- $RF_2 = \frac{1}{N_{iz}} \sum_{a=0}^{L-1} \sum_{b=1}^{N_\theta} b^2 M_\theta(a, b)$ (proporția plajelor lungi)
- $RF_3 = \frac{1}{N_{iz}} \sum_{a=0}^{L-1} \left(\sum_{b=1}^{N_\theta} M_\theta(a, b) \right)^2$ (heterogenitatea nivelelor de gri; măsoară dispersia plajelor între nivelele de gri)
- $RF_4 = \frac{1}{N_{iz}} \sum_{b=1}^{N_\theta} \left(\sum_{a=0}^{L-1} M_\theta(a, b) \right)^2$ (heterogenitatea lungimilor plajelor; măsoară dispersia plajelor între lungimi)
- $RF_5 = \frac{N_{iz}}{N_{reg}}$ (procentajul plajelor; este raportul între numărul de izosegmente și numărul de pixeli ai regiunii)

7.3 Caracterizarea spectrală a texturilor

Transformările [integrale] ale imaginilor transpun informația acestora într-un domeniu spectral. Zonele de interes din spectru sunt apoi extrase cu ajutorul a diferite măști (aper-turi). Zonele de interes astfel extrase pun în evidență diferite caracteristici: frecvențele [spațiale] înalte pot fi folosite pentru detecția conturilor, regiunile orientate sunt puse în evidență de existența unor direcționări predominante.

Pentru texturi, se urmărește în principal distribuția spectrală a energiei. Spectrul de energie $S(u, v)$ (7.10) este modulul pătrat al spectrului Fourier¹ $F(u, v)$ (7.9).

$$F(u, v) = \frac{1}{MN} \sum_{m=0}^{M-1} \sum_{n=0}^{N-1} f(m, n) e^{-j2\pi\left(\frac{um}{M} + \frac{vn}{N}\right)}, \quad u = \overline{0, M-1} \text{ și } v = \overline{0, N-1} \quad (7.9)$$

$$S(u, v) = |F(u, v)|^2 \quad (7.10)$$

¹Transformata Fourier face trecerea din domeniul spațial (reprezentat de coordonatele spațiale (m, n)) în domeniul frecvențial (reprezentat de coordonatele de frecvențe spațiale (u, v)).

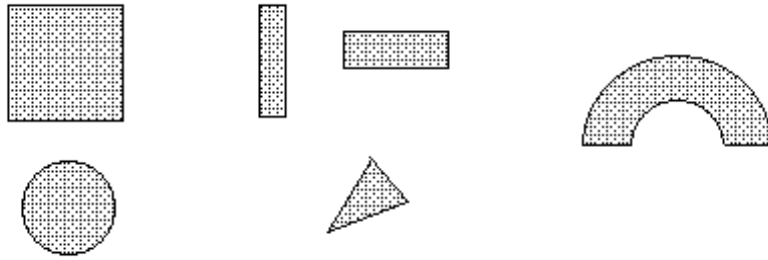


Fig. 7.2: Măști pentru determinarea benzilor de măsurare a distribuției energetice spectrale a texturilor.

Caracteristicile energetice se pot măsura cu mai multe tipuri de măști [7] (vezi Figura 7.2):

- măști unghiulare (orientate), utile pentru detecția caracteristicilor de orientare și determinarea direcțiilor predominante
- măști simetrice, de tip trece-jos sau trece-bandă, ce măsoară energia în benzi de frecvență

Una dintre metodele clasice de analiză energetică a texturilor calculează un vector caracteristic al entropiilor energetice pentru benzi de frecvență de tip trece jos, cu bandă de trecere din ce în ce mai mare. Pentru fiecare bandă de frecvență, energiile spectrale se normalizează la suma acestora și se calculează entropia valorilor rezultate; la rândul ei, această entropie se normalizează la entropia maxim posibilă pentru o zonă spectrală de energie uniformă.

Analiza energetică spectrală a texturilor prin folosirea de măști în spectrul energetic este o metodă valabilă însă numai în cazul în care textura ocupă o suprafață mare (și deci întreaga imagine este o textură). În practică, se dorește caracterizarea fiecărui pixel (de natură necunoscută) al imaginii și încadrarea sa într-un anume tip de clasă texturală. Pentru aceasta se calculează doar spectrul unor vecinătăți spațiale centrate în pixelul de interes (deci ferestre de analiză de dimensiune impară) și acest spectru este caracterizat de diferite mărimi statistice (momente de diferite ordine, centrate sau necentrate, amplitudini maxime / minime, variație a amplitudinii, etc.).

7.4 Desfășurarea lucrării

1. Vizualizați cele 10 texturi disponibile, stocate în format IMG în fișierele de la

t0_256.img la t9_256.img. Texturile sunt imagini de 256 x 256 pixeli, cu 256 nivele de gri.

```
»x=imread('textura', 256);  
»image(x), colormap(gray(256))
```

2. Urmăriți modul de folosire și implementarea funcțiilor de calcul a matricilor de coocurență (**cooc**) și izosegmente (**izoseg**). Urmăriți modul de folosire și implementarea funcțiilor de calcul al parametrilor texturali derivați din matricile de coocurență (**mas_cooc**) și izosegmente (**mas_izo**).

3. Pentru caracterizarea texturilor prin matrice de coocurență, trebuie urmărite următoarele etape: pentru fiecare textură, se extrag mai multe regiuni diferite, după care numărul de nivele de gri se reduce la 16 prin trunchere (pentru ușurarea calculelor).

```
»reg=x(minx:maxx, miny:maxy);  
»reg=fix((reg-1)/16)+1;
```

4. Pentru fiecare regiune extrasă se calculează matricile de coocurență ce corespund mai multor vectori de translație (de exemplu [1 0],[1 1], [0 1]) și se vizualizează:

```
»c10=cooc(reg,[1 0]);  
»c11=cooc(reg,[1 1]);  
»c01=cooc(reg,[0 1]);  
»figure;subplot(2,2,2),surf(c10),view(-20,45)  
»subplot(2,2,3),surf(c01),view(-20,45)  
»subplot(2,2,4),surf(c11),view(-20,45)
```

5. Pentru fiecare matrice de coocurență astfel calculată se calculează descriptorii texturali:

```
»m=mas_cooc(cij)
```

6. Verificați dacă pentru aceeași textură măsurile calculate de baza matricii de coocurență și aspectul grafic al matricii de coocurență sunt aceleași pentru zone diferite (verificarea ipotezei de staționaritate a procesului aleator ce produce textura) și dacă acestea sunt diferite pentru texturi diferite.

7. Pentru caracterizarea texturilor prin matrice de izosegmente se reia extragerea a mai multor regiuni diferite pentru fiecare textură, pentru care numărul de nivele de gri se reduce la 16 prin trunchere (pentru ușurarea calculelor).

```
»reg=x(minx:maxx, miny:maxy);  
»reg=fix((reg-1)/16)+1;
```

8. Pentru fiecare regiune extrasă se calculează matricile de izosegmente ce corespund mai multor orientări (de exemplu 0° , 90° , 45° și 135°) și se vizualizează:

```
>>iz0=izoseg(reg);
>>iz90=izoseg(reg);
>>iz45=izoseg(rot45(reg));
>>iz135=izoseg(rot45(reg));
>>figure;subplot(2,2,1),surf(iz0),view(-20,45)
>>subplot(2,2,2),surf(iz90),view(-20,45)
>>subplot(2,2,3),surf(iz45),view(-20,45)
>>subplot(2,2,3),surf(iz135),view(-20,45)
```

9. Pentru fiecare matrice de izosegmente astfel calculată se calculează descriptorii texturali:

```
>>m=mas_izo(izxxx)
```

10. Verificați dacă pentru aceeași textură măsurile calculate de baza matricii de izosegmente și aspectul grafic al matricii de izosegmente sunt aceleași pentru zone diferite (verificarea ipotezei de staționaritate a procesului aleator ce produce textura) și dacă acestea sunt diferite pentru texturi diferite.

11. Urmăriți modul de folosire a funcțiilor asociate calculului spectrului Fourier de amplitudine (**fft2**, **fftshift**) și energie (**abs**).

12. Pentru fiecare textură disponibilă, calculați spectrul Fourier și vizualizați-l cu compresie logaritmică a valorilor:

```
>>x=imread(tx,256);
>>y=abs(fftshift(fft2(x)));
>>figure,image(log(abs+1)+1),colormap(gray(256))
```

13. Pentru fiecare textură calculați distribuția spectrală de energie folosind funcția **mas_four** și diferite dimensiuni ale vectorului de caracteristici (16, 32, ...,128).

```
>>mas=mas_four(y, dim);
>>figure; plot(mas)
```

7.5 Întrebări și probleme

1. Care este legătura dintre matricea de izosegmente pe o anumită direcție, pentru o regiune R , și histograma (funcția de densitate de probabilitate a nivelelor de gri) zonei R ?

2. Care este legătura dintre matricea de coocurență pentru un vector de translație fixat, pentru o regiune R , și histograma (funcția de densitate de probabilitate a nivelelor de gri) zonei R ?
3. Cum depinde timpul de calcul al matricii de coocurență (sau al matricii de izosegmente) de numărul de nivele de gri pe care sunt reprezentați pizelii ? Efectuați măsurători ale timpului de rulare pentru diferite valori ale numărului maxim de nivele de gri (8, 16, 32, etc) folosind funcțiile Matlab **tic** și **toc**.
4. Implementați o funcție Matlab care să calculeze distribuția spectrală de energie pentru măști de tip sector circular ("felii de plăcintă").
5. Verificați invarianța descriptorilor texturali folosiți (din matricea de coocurență, din matricea de izosegmente) și a distribuției spectrale de energie față de transformările punctuale de îmbunătățire a imaginilor (modificare punctuală a nivelelor de gri).

Capitolul 8

Caracterizarea regiunilor

Prin parametru de formă înțelegem în general un scalar sau o funcție (cu suport unidimensional sau bidimensional) asociate unei forme plane pe care o caracterizează; forme asemănătoare sunt caracterizate de parametri de formă de valori apropiate; formele diferite prezintă diferențe mari între parametrii de formă asociați. Parametrii de formă compun un fel de fișă de identitate a formei respective, pe baza cărei această formă poate fi recunoscută în mod unic. În mod ideal, acești parametri trebuie să fie invarianți la translație, rotație și scalare. Tehnicile de recunoaștere a formelor sau de clasificare sunt precedate întotdeauna de o etapă de extragere a parametrilor de formă (sau a caracteristicilor formei).

Pentru analiza imaginilor, o formă este o funcție de două variabile, cu suport compact $f(x, y) : K \rightarrow \mathbf{R}$; în general valorile acestei funcții sunt binare (0 sau 1), descriind deci o parte a unei imagini binare (zona din imagine în care se află obiectul de interes). Atunci funcția poate fi văzută ca o funcție caracteristică a formei, asemănătoare funcției caracteristice a unei mulțimi.

În cele ce urmează vom prezenta câțiva parametri de formă clasici.

8.1 Parametri geometrici

Această categorie de parametri se bazează pe măsura unor atribute geometrice simple: arie (S), perimetru (P), număr de găuri, numărul lui Euler (numărul de regiuni conexe – numărul de găuri). Cum nu toate aceste numere sunt invariante și caracteristice în mod unic unei anume forme, au apărut combinații de tip raport.

Raportul de compacitate (numit uneori și factor de formă) este raportul dintre pătratul

perimetrului și suprafața formei:

$$\kappa = \frac{P^2}{4\pi S} \quad (8.1)$$

Pentru o formă circulară raportul este unitar; cu cât numărul κ este mai apropiat de această valoare, cu atât mai mult forma seamănă cu un disc (pătratul are un raport de compacitate $\kappa = 1.273$).

Excentricitatea sau circularitatea formei (măsura în care forma dată se deosebește de disc) poate fi definită și ca un raport al razelor cercurilor circumscrise (R) și înscrise (r) formei:

$$c = \frac{R}{r} \quad (8.2)$$

Acest raport este evident unitar în cazul discului; pentru pătrat valoarea sa este de $c = 1.412$.

8.2 Momente statistice și invarianți

Interpretând funcția caracteristică a formei ca pe o funcție de densitate de probabilitate bidimensională, putem defini momentele statistice asociate celor două variabile aleatoare (ce sunt coordonatele punctelor formei):

$$m_{pq} = \iint_K f(x, y)x^p y^q dx dy, \quad p, q = 0, 1, 2, \dots \quad (8.3)$$

Scalarul m_{pq} (momentul de ordin p, q sau $p + q$) este proiecția funcției $f(x, y)$ pe polinoamele x^p și y^q ale bazei complete de polinoame. Teorema reprezentării cu momente afirmă că mulțimea infinită de momente m_{pq} determină în mod unic $f(x, y)$ și reciproc.

În cazul imaginilor binare, coordonatele sunt discrete și funcția este o funcție caracteristică; formula momentelor (8.3) devine

$$m_{pq} = \sum_{f(x,y) \neq 0} \sum x^p y^q \quad (8.4)$$

Cum caracterizarea unei forme printr-o serie infinită de numere (așa cum cere teorema reprezentării cu momente) nu este posibilă, în practică se folosesc serii de momente truncheate până la un ordin maxim fixat N ($p + q \leq N$). Acestea însă caracterizează o altă funcție, $g(x, y)$, o aproximare a lui $f(x, y)$. Această aproximare este dată de o combinație liniară a polinoamelor bazei, ponderate cu scalarii necunoascuți g_{pq} :

$$g(x, y) = \sum_{p+q \leq N} \sum g_{pq} x^p y^q \quad (8.5)$$

Găsirea acestor scalari se face prin egalarea momentelor cunoscute ale lui $f(x, y)$ cu momentele lui $g(x, y)$ dată de expresia (8.5). Rezolvând sistemul de ecuații cuplate ce se formează, se pot obține relațiile căutate; calculul trebuie însă refăcut, din cauza cuplării ecuațiilor, ori de câte ori se dorește trecerea la o aproximare mai bună a formei f , măbind valoarea lui N . Această cuplare provine din cauza folosirii unei baze neortogonale (așa cum este familia de polinoame $x^p y^q$) pentru calculul momentelor; problema a fost rezolvată prin folosirea proiecțiilor pe baza de polinoame Legendre.

Trebuie însă remarcat că folosirea momentelor statistice pentru caracterizarea unei forme nu asigură îndeplinirea a nici unuia dintre principiile de invarianță căutate; de aceea au fost introduse momente statistice invariante.

Momentele statistice invariante la translație sunt momentele statistice centrate:

$$\mu_{pq} = \sum_{f(x,y) \neq 0} (x - \bar{x})^p (y - \bar{y})^q \quad (8.6)$$

Momentele statistice invariante la translație și scalare sunt definite de:

$$\eta_{pq} = \frac{\mu_{pq}}{\mu_{00}^\gamma}, \quad \gamma = 1 + \frac{p+q}{2} \quad (8.7)$$

Invarianții la translație, scalare și rotație ai unei forme, obținuți în condițiile folosirii unor momente statistice de ordin cel mult 3 ($N = 3$), sunt în număr de 7 și sunt exprimați de:

$$\Phi_1 = \eta_{20} + \eta_{02} \quad (8.8)$$

$$\Phi_2 = (\eta_{20} - \eta_{02})^2 + 4\eta_{11}^2 \quad (8.9)$$

$$\Phi_3 = (\eta_{30} - 3\eta_{12})^2 + (\eta_{03} - 3\eta_{21})^2 \quad (8.10)$$

$$\Phi_4 = (\eta_{30} + \eta_{12})^2 + (\eta_{03} + \eta_{21})^2 \quad (8.11)$$

$$\begin{aligned} \Phi_5 = & (\eta_{30} - 3\eta_{12})(\eta_{30} + \eta_{12}) [(\eta_{30} + \eta_{12})^2 - 3(\eta_{03} + \eta_{21})^2] + \\ & + (\eta_{03} - 3\eta_{21})(\eta_{03} + \eta_{21}) [(\eta_{03} + \eta_{21})^2 - 3(\eta_{30} + \eta_{12})^2] \end{aligned} \quad (8.12)$$

$$\Phi_6 = (\eta_{20} - \eta_{02}) [(\eta_{30} + \eta_{12})^2 - (\eta_{03} + \eta_{21})^2] + 4\eta_{11}(\eta_{30} + \eta_{12})(\eta_{03} + \eta_{21}) \quad (8.13)$$

$$\begin{aligned} \Phi_7 = & (\eta_{30} - 3\eta_{21})(\eta_{03} + \eta_{21}) [(\eta_{03} + \eta_{21})^2 - 3(\eta_{30} + \eta_{12})^2] - \\ & - (\eta_{03} - 3\eta_{21})(\eta_{30} + \eta_{12}) [(\eta_{30} + \eta_{12})^2 - 3(\eta_{03} + \eta_{21})^2] \end{aligned} \quad (8.14)$$

Inițial (mijlocul anilor '60) acești invarianți au fost folosiți pentru recunoașterea caracterelor mari de tipar, cu rezultate modeste. Eficiența lor constă însă în modul rapid de calcul și posibilitatea de a le utiliza cu succes pentru recunoașterea formelor geometrice convexe.

Folosind momentele invariante, se mai pot deduce alte atribute: excentricitatea suprafeței (8.15), care măsoară gradul de uniformitate al distribuției punctelor formei în jurul centrului de greutate și orientarea suprafeței, caracterizată de unghiul θ față de orizontală al axei față de care momentul inerție al formei este minim (8.16).

$$\varepsilon = \frac{\Phi_2}{\mu_{00}} \quad (8.15)$$

$$\theta = \frac{1}{2} \arctan \frac{2\mu_{11}}{\mu_{20} - \mu_{02}} \quad (8.16)$$

8.3 Skeletonul morfologic

Skeletonul este o reprezentare bidimensională simplificată, echivalentă, a unei forme. Pentru o formă A oarecare se definește discul maximal în A , de centru \mathbf{x} și rază r , $B_{\mathbf{x}}(r)$ ca fiind discul caracterizat de:

$$B_{\mathbf{x}}(r) \subseteq A \quad (8.17)$$

$$B_{\mathbf{x}}(r) \subseteq B_{\mathbf{x}'}(r') \subseteq A \Leftrightarrow \begin{cases} r = r' \\ \mathbf{x} = \mathbf{x}' \end{cases} \quad (8.18)$$

Deci discul maximal trebuie să fie inclus în formă (8.17) și nici un alt disc inclus în formă să nu îl includă, sau, dacă îl include, să fie identic cu acesta (8.18). O formă poate avea mai multe discuri maximale.

Skeletonul unei forme este mulțimea centrelor discurilor maximale ale formei. Ca exemple simple, skeletonul unui disc este centrul său, skeletonul unui pătrat este reuniunea diagonalelor sale.

Calculul skeletonului unei forme reprezentate în spațiul discret se poate face prin formula Lantuejoul; skeletonul formei A , $SK(A)$, este format din reuniunea unui număr finit de seturi skeleton:

$$SK(A) = \bigcup_{n=0}^{N_{\max}} S_n(A) \quad (8.19)$$

$$S_n(A) = (A \ominus nB) - (A \ominus nB) \circ B \quad (8.20)$$

Ordinul N_{\max} corespunde momentului în care toate seturile skeleton succesive devin nule, moment marcat de $A \ominus N_{\max}B = \emptyset$; elementul structurant nB este iterarea de n ori a elementului structurant B , $nB = B \oplus \dots \oplus B$ (de n ori). Elementul structurant folosit este în general o expresie discretă a discului unitar (deci element structurant V_4 sau V_8). Figura 8.1 prezintă skeletonul unei forme discrete oarecare.



Fig. 8.1: Skeleton al unei forme discrete, reprezentat prin reuniunea seturilor skeleton și informația de apartenență a fiecărui punct la un anumit set skeleton.

Reconstrucția formei din skeleton se face după formula

$$A = \bigcup_{n=0}^{N_{\max}} S_n(A) \oplus nB \quad (8.21)$$

Se pot realiza și reconstrucții parțiale (aproximări ale mulțimii A) prin neglijarea seturilor skeleton ce reprezintă detaliile (acestea sunt seturile skeleton de ordin mic); aproximarea de ordin k a formei înseamnă deci ignorarea primelor k seturi skeleton din reconstrucție:

$$\widetilde{A}_k = \bigcup_{n=k}^{N_{\max}} S_n(A) \oplus nB \quad (8.22)$$

Skeletonul este invariant la translație, nu este conex (chiar dacă forma A este conexă), nu este comutativ cu operația de reuniune a formelor. Transformarea skeleton este idempotentă ($SK(SK(A)) = SK(A)$) și antiextensivă ($SK(A) \subseteq A$). Seturile skeleton sunt disjuncte două câte două ($S_i(A) \cap S_j(A) = \emptyset, \forall i \neq j$).

Folosirea skeletonului morfologic pentru recunoașterea formelor este restricționată de puterea sa sensibilitate la zgomote (o mică schimbare a formei duce la o modificare semnificativă a skeletonului¹), și de variația la rotația și scalarea obiectelor (pentru reprezentări în spațiul discret). În același timp, folosirea elementului structurant de tip disc unitar aduce o puternică dependență de metrica folosită în definirea sa (să nu uităm că într-un spațiu discret, metrica Euclidiană nu este cea mai favorabilă) și produce elemente structurante pătrate (V_8) sau în cruce (V_4), ce pot fi cu greu interpretate ca discuri. Acestea au condus la folosirea unei clase de elemente structurante care să nu provină din noțiunea de metrică - elementele structurante generalizate.

¹Exemplul clasic este de a considera un disc fără centru; în acest caz skeletonul este o coroană circulară situată la jumătatea razei.

8.4 Desfășurarea lucrării

Se va utiliza programul SAIN - sistem de analiză a formelor binare plane, pentru a realiza prelucrări mai rapide decât cele posibile în Matlab. SAIN este comandat din meniurile de operații; fiecare operație este aplicată formei binare care se află în fereastra-document activă.

1. Se încarcă configurația de lucru pentru lucrarea curentă (*Options - Charger options - regiuni.cfg*).
2. Pentru fiecare formă disponibilă se vor calcula următorii parametri:
 - aria (afișată în fereastră odată cu imaginea)
 - perimetrul (afișat în fereastră odată cu imaginea)
 - raportul de formă calculat conform (8.1)
 - raportul de circularitate calculat după (8.2) (*Parametres - Circularites - Radiale*)
 - invarianții de formă (8.8 - 8.12) deduși pe baza momentelor statistice (*Parametres - Moments statistiques*)

Se va urmări ca pentru obiectele asemănătoare valorile parametrilor calculați să fie asemănătoare, iar pentru obiecte diferite valorile parametrilor să fie diferite. Parametrii pot fi notați și apoi se pot calcula distanțe între obiecte pentru a verifica procentul de bună recunoaștere folosind o regulă de decizie simplă de tipul celui mai apropiat vecin (se poate folosi Matlab).
3. Pentru fiecare formă disponibilă se calculează skeletonul morfologic prin elementul structurant V_8 (*Parametres - Morphologiques - Squelette*). Se va urmări numărul de puncte din care este alcătuit skeletonul și modul în care acesta este "centrat" în obiect (se justifică deci denumirea de axă mediană?). Se va urmări efectul micilor variații ale formei asupra skeletonului.

8.5 Întrebări și probleme

1. Scrieți o funcție Matlab pentru calculul skeletonului morfologic al unei forme binare.
2. Scrieți o funcție Matlab pentru calculul orientării unei forme plane. Afișați apoi într-o aceeași figură forma plană și axa având orientarea determinată. Comentați precizia metodei.
3. Scrieți o funcție Matlab pentru calculul raportului de compacitate a unei forme plane.

Capitolul 9

Caracterizarea contururilor

9.1 Semnătura formeii

Semnătura unei forme este o funcție scalară de o variabilă, asociată unei forme plane. Semnătura este definită de distanța de la un punct de referință fixat \mathbf{x} (în general centrul de greutate al formeii) la fiecare punct de pe conturul (frontiera) formeii. Această distanță este exprimată (sau măsurată) în funcție de unghiul la centru θ realizat de punctul curent de pe contur cu axa orizontală de referință, $d_{\mathbf{x}}(\theta)$ sau în funcție de abscisa curbilinie ρ (lungimea conturului cuprins între punctul curent și punctul în care axa de referință intersectează conturul), $d_{\mathbf{x}}(\rho)$. Semnătura formeii este o reprezentare reversibilă (cunoscând semnătura se poate reconstrui conturul obiectului). Figurile 9.1 și 9.2 prezintă semnăturile unor forme poligonale.



Fig. 9.1: Semnătura unui pătrat ca funcție de unghiul la centru; punctul de referință este centrul de greutate, axa de referință este orizontală.

Este posibil ca, pentru forme concave, semnătura în funcție de unghiul la centru să nu poată fi calculată, deoarece, pentru anumite unghiuri θ , intersecția dreptei de direcție θ

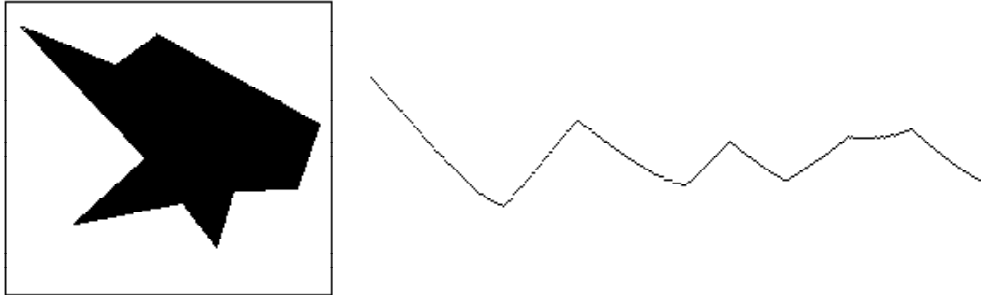


Fig. 9.2: Semnătura unei forme poligonale în funcție de abscisa curbilinie; punctul de referință este centrul de greutate, axa de referință este orizontală.

cu conturul să fie formată din mai multe puncte. Această problemă nu apare în cazul semnăturii în funcție de abscisa curbilinie. Ca o restricție generală, în cazul folosirii semnăturii bazate pe unghi, trebuie ca punctul de referință \mathbf{x} să aparțină nucleului formeii. Nucleul formeii K , $Ker(K)$ este definit prin:

$$Ker(K) = \{\mathbf{x} | \forall \mathbf{y} \in K, [\mathbf{xy}] \subseteq K\} \quad (9.1)$$

unde $[\mathbf{xy}]$ semnifică segmentul de dreaptă definit de punctele \mathbf{x} și \mathbf{y} . În cazul formelor concave, nucleul formeii este o mulțime vidă.

Folosind semnătura formeii, se pot defini parametri de tip geometric. Raportul de simetrie este definit ca

$$Y(K) = \sup_{\mathbf{x} \in K} \inf_{\theta \in [0; \pi]} \frac{d_{\mathbf{x}}(\theta)}{d_{\mathbf{x}}(\theta + \pi)} \quad (9.2)$$

Se observă că nu s-a făcut nici o presupunere privind convexitatea formeii K , dar unicitatea distanțelor $d_{\mathbf{x}}(\theta)$ și $d_{\mathbf{x}}(\theta + \pi)$ implică calcularea raportului de simetrie după punctele ce aparțin nucleului formeii.

Raportul de circularitate este definit ca:

$$C(K) = \frac{\sup_{\theta} (d_{\mathbf{x}}(\theta) + d_{\mathbf{x}}(\theta + \pi))}{\inf_{\theta} (d_{\mathbf{x}}(\theta) + d_{\mathbf{x}}(\theta + \pi))} \quad (9.3)$$

Funcția $h_K(\theta) = d_{\mathbf{x}}(\theta) + d_{\mathbf{x}}(\theta + \pi)$ se numește suportul formeii, și este diametrul formeii pe direcția θ .

9.2 Descriptori Fourier de contur

Frontiera unui obiect, odată ce a fost determinată, poate fi văzută ca o pereche de semnale unidimensionale $x(t)$ și $y(t)$ în funcție de abscisa curbilinie pe contur t (a se vedea figura

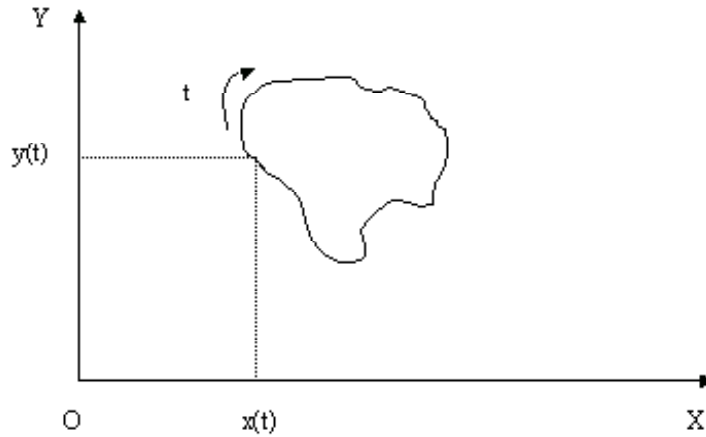


Fig. 9.3: Descriptorii Fourier ai frontierei unui obiect.

9.3). Astfel, frontiera respectivă poate fi reprezentată folosind tehnici uzuale pentru semnale unidimensionale. Pentru un contur discret, se poate defini semnalul complex:

$$u(n) = x(n) + jy(n), \quad n = 0, 1, \dots, N - 1$$

care, pentru un contur închis, este un semnal periodic de perioadă N . Semnalul $u(n)$ poate fi caracterizat prin transformata sa Fourier discretă $a(k)$, definită ca:

$$a(k) = \sum_{n=0}^{N-1} u(n) \exp\left(-\frac{2\pi jkn}{N}\right)$$

Coeficienții complecși $a(k)$ se numesc *descriptorii Fourier* ai frontierei considerate. În figura 9.4 este prezentat un exemplu de descriptori Fourier ai unui contur.

Descriptorii Fourier ai unui contur prezintă anumite proprietăți de invarianță la operații geometrice de bază (scalare, rotație, translație) care îi fac să fie extrem de atractivi pentru recunoașterea de forme. În cele ce urmează sunt prezentate câteva dintre proprietățile cele mai importante ale descriptorilor Fourier, ale căror demonstrații sunt lăsate ca exercițiu.

9.2.1 Translație

Fie $u(n)$ semnalul complex asociat unei frontiere, și fie $a(k)$ descriptorii Fourier ai acesteia. Fie $\tilde{u}(n)$ semnalul asociat frontierei obiectului translatat cu (x_0, y_0) . Putem scrie $\tilde{u}(n) =$

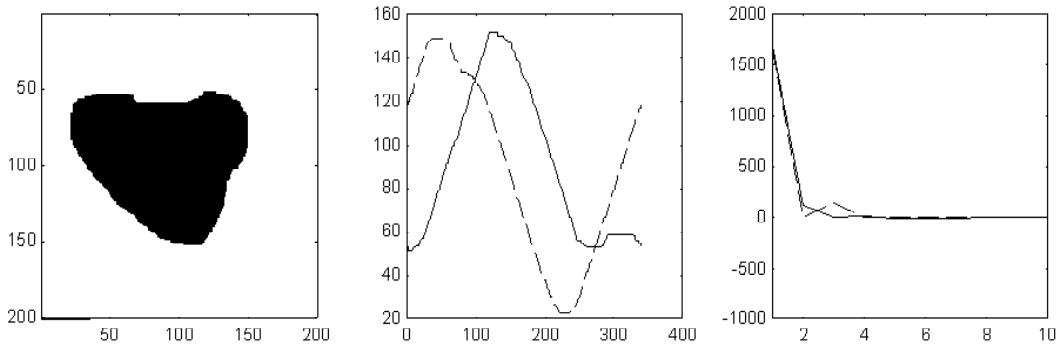


Fig. 9.4: Exemplu de descriptori Fourier: obiect original, func]tia contur și primii zece descriptori Fourier

$u(n) + u_0$, cu $u_0 = x_0 + jy_0$. Atunci, descriptorii Fourier ai obiectului translatat $\tilde{a}(k)$ se obțin în funcție de cei ai obiectului original astfel:

$$\tilde{a}(k) = a(k) + u_0\delta(k).$$

Cu alte cuvinte, efectul unei translații asupra descriptorilor Fourier ai unui obiect este modificarea coeficientului de curent continuu.

9.2.2 Scalare

Fie $\tilde{u}(n)$ semnalul asociat frontierei obiectului scalat cu parametrul α : $\tilde{u}(n) = \alpha u(n)$. Atunci,

$$\tilde{a}(k) = \alpha a(k).$$

Altfel spus, o scalare a obiectului conduce la o scalare a descriptorilor săi Fourier.

9.2.3 Rotație

Fie $\tilde{u}(n)$ semnalul asociat frontierei obiectului rotit cu unghiul θ_0 : $\tilde{u}(n) = u(n) \exp(j\theta_0)$. Descriptorii Fourier ai obiectului rotit devin:

$$\tilde{a}(k) = a(k) \exp(j\theta_0).$$

O rotație a obiectului induce, deci, o deviație constantă în faza descriptorilor săi Fourier.

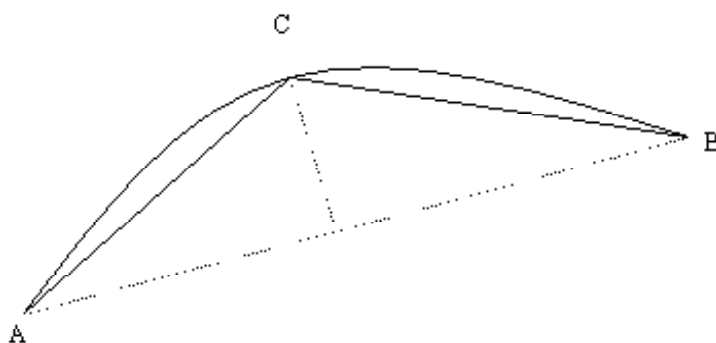


Fig. 9.5: Exemplu de aproximare poligonală a unei curbe

9.2.4 Schimbarea originii

În cazul în care se schimbă originea obiectului, semnalul care îi va descrie frontiera va fi $\tilde{u}(n) = u(n - n_0)$ cu n_0 constant, iar descriptorii săi Fourier pot fi scriși:

$$\tilde{a}(k) = a(k) \exp\left(-\frac{2\pi j n_0 k}{N}\right),$$

deci o schimbare a originii conduce la o modulație indusă în faza descriptorilor săi Fourier.

9.3 Poligonalizarea contururilor

Operația de poligonalizare a contururilor este utilă în vederea interpretării formelor. Un algoritm posibil de aproximare poligonală a unei curbe AB este următorul (v. figura 9.5): pentru fiecare punct D al curbei se calculează distanța la segmentul de dreaptă AB . Se determină astfel punctul C caracterizat de distanța la segmentul AB maximă. Fie d_C această distanță. Dacă $d_C < T$, unde T este un prag ales de utilizator, atunci punctul C este reținut și se repetă procedura pentru cele două segmente rezultate AC și CB . În caz contrar, curba se înlocuiește cu segmentul AB . Pragul T controlează eroarea indusă de aproximarea poligonală. Alegându-se un T mare, contururile vor fi approximate cu un număr redus de segmente, deci aproximarea este mai brutală. Pentru T mic, va rezulta un număr ridicat de segmente.

9.4 Desfășurarea lucrării

1. Pentru calculul semnăturilor obiectelor și a aproximărilor lor poligonale se va utiliza programul SAIN - sistem de analiză a formelor binare plane, pentru a realiza prelucrări mai rapide decât cele posibile în Matlab. Se încarcă configurația de lucru pentru lucrarea curentă (*Options - Charger options - contur.cfg*).
2. Pentru imaginile binare disponibile se calculează semnăturile față de centrul de greutate, indexate prin unghiul la centru sau prin abscisa curbilinie (*Parametres - Signatures*). Numărul de puncte pentru care se calculează semnăturile se poate controla prin meniu (*Options - Approximations*).
3. Pentru imaginile binare disponibile se va calcula poligonul de aproximare (*Operations - Polygonaliser*). Precizia de aproximare se poate controla prin meniu (*Options - Approximations*).
4. Se vor încărca și vizualiza pe rând toate imaginile ce conțin obiectele binare ce vor fi utilizate pentru studiul descriptorilor Fourier:

```
»[a, map]=bmp8rd('nume_fisier');
```
5. Pentru fiecare imagine, se va calcula funcția contur a obiectului conținut:

```
» [za, contura]=descfour(a);
```
6. Se va vizualiza conturul obiectului și se vor afișa părțile reală și imaginară ale funcției sale de contur:

```
»figure; image(contura+1); colormap(gray(2))  
»figure; plot(real(za)); hold on; plot(imag(za),"-");
```
7. Se calculează și se afișează descriptorii Fourier ai obiectului:

```
»Za=fft(za);  
»figure; plot(real(Za)); hold on; plot(imag(Za),"-");
```
8. Pentru fiecare din cele 4 obiecte, se vor verifica proprietățile de invarianță a descriptorilor Fourier la operații geometrice.

9.5 Întrebări și probleme

1. Să se scrie o funcție Matlab care să compare două obiecte în funcție de descriptorii lor Fourier.
2. Să se scrie o funcție Matlab care realizează aproximarea poligonală a conturului unui obiect.

ANEXE

Anexa A

Ghid de utilizare a funcțiilor Matlab

Această anexă cuprinde întreaga documentație necesară implementării și utilizării funcțiilor Matlab dezvoltate special pentru experimentele de analiza imaginilor. Unele funcționalități ale acestor funcții sunt acoperite și de funcții standard (incluse în distribuția Matlab de bază) sau specializate (din diferite toolbox-uri) ale Matlab. Pentru fiecare funcție este prezentat modul de utilizare (argumente de apel, valori returnate, valori implicite ale parametrilor) și codul de implementare. Codul de implementare prezentat nu permite utilizarea sistemului de help on-line al Matlab. Deși au fost făcute eforturi pentru a asigura o deplină funcționalitate a codului prezentat, nu putem garanta în nici un fel faptul că acesta este total lipsit de erori. Autorii nu își asumă deci responsabilitatea pentru efectele nedorite rezultate ca urmare a utilizării acestuia.

A.1 Citire-scriere fișiere imagine

A.1.1 `bmp8rd`

Citirea fișierelor în format `.bmp` (Microsoft Windows Bitmap): imagini indexate cu nivele de gri sau color, cu tabelă de culoare, stocate în format de 8 biți per pixel. Imaginea este citită într-o matrice și la toate componentele este adăugată o unitate pentru a se permite afișarea imaginii cu funcția `image` a Matlab. Utilizarea funcției:

```
[nume_matrice_imagine, nume_tabel_culoare]=bmp8rd('nume_fisier_imagine');
```

unde `'nume_fisier_imagine'` trebuie dat între apostrofuri și este numele DOS complet și valid al unui fișier de imagine; dacă extensia nu este precizată, se presupune implicit extensia `.bmp`. Imaginea de indecși este plasată în matricea `nume_matrice_imagine`, iar

tabelul de culoare ce îi este asociat este plasat în matricea cu 3 coloane *nume_tabel_culoare*.
Cod de implementare:

```
function [x,map]=bmp8rd(filename);
if (nargin~=1)
    help bmp8rd
    error('Necesita un nume de fisier ca argument !');
end;
if (isstr(filename)~=1)
    help bmp8rd
    error('Argumentul trebuie sa fie un sir !');
end;
if (isempty(findstr(filename, '.'))==1)
    filename=[filename, '.bmp'];
end;
fid=fopen(filename, 'rb', 'l');
if (fid==-1)
    error(['Error opening ', filename, ' for input.']);
end;
bfType=fread(fid,2,'char');
setstr(bfType);
if (bfType~=['B';'M'])
    fclose(fid);
    error('Not a BMP file.');
```

```
end;
bfSize=fread(fid,1,'long');
bfReserved1=fread(fid,1,'short');
bfReserved2=fread(fid,1,'short');
bfOffBits=fread(fid,1,'long');
biSize=fread(fid,1,'long');
if (biSize~=40)
    fclose(fid);
    error('Not a MS Windows Device Independent Bitmap BMP file.');
```

```
end;
biWidth=fread(fid,1,'long');
biHeight=fread(fid,1,'long');
biPlanes=fread(fid,1,'short');
biBitCount=fread(fid,1,'short');
biCompression=fread(fid,1,'long');
biSizeImage=fread(fid,1,'long');
biXPels=fread(fid,1,'long');
biYPels=fread(fid,1,'long');
```

```

biClrUsed=fread(fid,1,'long');
biClrImportant=fread(fid,1,'long');
if (biClrUsed==0)
    nColors=2.^biBitCount;
else
    nColors=biClrUsed;
end;
if (biClrUsed>256)
    map=[];
else
    map=fread(fid,4*nColors,'uchar');
    map=reshape(map,4,nColors);
    map=map';
    map=map(:,1:3);
    map=fliplr(map);
end;
map=map./255;
rest=rem(biWidth,4);
if (rest~=0)
    rest=4-rest;
end
if (biBitCount==8)
    temp=fread(fid,[biWidth+rest,biHeight],'uchar');
    x=rot90(temp(1:biWidth,:))+1;
else
    help bmp8rd
    error('Acesta nu e un BMP cu 8 bpp !');
end;
fclose(fid);

```

A.1.2 bmp8wr

Scrierea fişierelor în format .bmp (Microsoft Windows Bitmap): imagini indexate cu nivele de gri sau color, cu tabelă de culoare, stocate în format de 8 biți per pixel. Imaginea este citită dintr-o matrice și din toate componentele este scăzută o unitate (deci se presupune că valorile indecșilor sunt în intervalul 1-256). Utilizarea funcției:

```
bmp8wr( nume_matrice_imagine, nume_tabel_culoare, 'nume_fisier_imagine');
```

unde '*nume_fisier_imagine*' trebuie dat între apostrofuri și este numele DOS complet și valid al unui fișier de imagine; dacă extensia nu este precizată, se presupune implicit

extensia .bmp. Imaginea de indecși este preluată din matricea *nume_matrice_imagine*, iar tabelul de culoare ce îi este asociat este specificat de *nume_tabel_culoare*. Cod de implementare:

```
function bmp8wr(x,map,filename);
if (nargin~=3)
    help bmp8wr
    error('Necesita 3 argumente !');
end;
if (isstr(filename)~=1)
    help bmp3wr
    error('Al treilea argument trebuie sa fie sir !');
end;
if (isempty(findstr(filename, '.'))==1)
    filename=[filename, '.bmp'];
end;
fid=fopen(filename, 'wb', 'l');
if (fid==-1)
    error(['Error opening ', filename, ' for output.']);
end;
fwrite(fid, ['B'; 'M'], 'char');
[biHeight, biWidth]=size(x);
rest=4-rem(biWidth,4);
if (rest==4)
    rest=0;
end
bfSize=biHeight*(biWidth+rest)+54;
fwrite(fid, bfSize, 'long');
bfReserved1=0;
fwrite(fid, bfReserved1, 'short');
bfReserved2=0;
fwrite(fid, bfReserved2, 'short');
bfOffBits=54;
fwrite(fid, bfOffBits, 'long');
biSize=40;
fwrite(fid, biSize, 'long');
fwrite(fid, biWidth, 'long');
fwrite(fid, biHeight, 'long');
biPlanes=1;
fwrite(fid, biPlanes, 'short');
biBitCount=8;
fwrite(fid, biBitCount, 'short');
```

```

biCompression=0;
fwrite(fid,biCompression,'long');
biSizeImage=0;
fwrite(fid,biSizeImage,'long');
biXPels=0;
fwrite(fid,biXPels,'long');
biYPels=0;
fwrite(fid,biYPels,'long');
biClrUsed=0;
fwrite(fid,biClrUsed,'long');
biClrImportant=0;
fwrite(fid,biClrImportant,'long');
[m,n]=size(map);
if (m~=256)
    map=[map;zeros(256-m,3)];
elseif (m>256)
    error('Colormap exceeds 256 colors! Only 8-bit BMP file output is supported.');
```

A.1.3 imread

Citirea fișierelor în format .img: imagini cu nivele de gri, pătrate, fără antet, fără tabelă de culoare, stocate în format de 8 biți per pixel în gama 0-255, în ordinea normală de baleiaj pe linii a imaginii. Imaginea este citită într-o matrice și la toate valorile este adăugată o unitate pentru a permite afișarea imaginii cu funcția **image** a Matlab. Utilizarea funcției:

```
nume_matrice_imagine=imread('nume_fisier_imagine', dimensiune_imagine);
```

unde *'nume_fisier_imagine'* trebuie dat între apostrofuri și este numele DOS complet și valid al unui fișier de imagine; dacă extensia nu este precizată, se presupune implicit extensia .img; *dimensiune_imagine* este dimensiunea imaginii (dacă nu se precizează, se consideră implicit valoarea 256). Cod de implementare:

```
function [X]=imread(filename,dim);
if exist('filename')==0
```

```

    help imgread
    error('Trebuie specificat numele fisierului !');
end;
if (isstr(filename)~=1)
    help imgread
    error('Numele fisierului trebuie dat ca sir !');
end;
if (isempty(findstr(filename, '.'))==1)
    filename=[filename, '.img'];
end;
fid=fopen(filename, 'rb', 'l');
if (fid==-1)
    error(['Eroare la deschiderea fisierului ', filename]);
end;
if exist('dim')==0
    dim=256;
end
X=fread(fid, [dim, dim], 'uchar');
X=X'+1;
fclose(fid);

```

A.1.4 imgwrite

Scrierea fişierelor în format .img: imagini cu nivele de gri, pătrate, fără antet, fără tabelă de culoare, stocate în format de 8 biţi per pixel în gama 0-255, în ordinea normală de baleiaj pe linii a imaginii. Imaginea este citită dintr-o matrice și din toate valorile este scăzută o unitate pentru a permite compatibilitatea cu formatul unsigned char al valorilor scrise în fişier (deci se presupune că valorile indecșilor sunt în intervalul 1-256). Utilizarea funcției:

```
imgwrite( nume_matrice_imagine, 'nume_fisier_imagine');
```

unde *nume_matrice_imagine* este numele unei variabile de tip matrice din spațiul de lucru Matlab, iar *ume_fisier_imagine* trebuie dat între apostrofuri și este numele DOS complet și valid al unui fișier de imagine; dacă extensia nu este precizată, se presupune implicit extensia .img. Cod de implementare:

```

if (nargin~=2)
    help imgwrite
    error('Necesita doua argumente');
end;

```

```

if (isstr(filename)~=1)
    help imgwrite
    error('Al doilea argument trebuie sa fie un sir');
end;
if (isempty(findstr(filename, '.'))==1)
    filename=[filename, '.img'];
end;
fid=fopen(filename, 'wb', 'l');
if (fid==-1)
    error(['Eroare la deschiderea ', filename, ' ']);
end;
X=(X-1)';
fwrite(fid, X(:), 'uchar');
fclose(fid);

```

A.1.5 mfiread

Citirea fişierelor în format .mfi: imagini cu nivele de gri, fără tabelă de culoare, stocate în format de 8 biți per pixel în gama 0-255, în ordinea normală de baleiaj pe linii a imaginii. Imaginea este citită într-o matrice și la toate componentele este adăugată o unitate pentru a permite afișarea imaginii cu funcția **image** a Matlab. Utilizarea funcției:

```

nume_matrice_imagine=mfiread('nume_fisier_imagine');

```

unde '*nume_fisier_imagine*' trebuie dat între apostrofuri și este numele DOS complet și valid al unui fișier de imagine; dacă extensia nu este precizată, se presupune implicit extensia .mfi. Cod de implementare:

```

function [X]=mfiread(filename);
if (nargin~=1)
    help mfiread
    error('Trebuie dat numele fisierului !');
end;
if (isstr(filename)~=1)
    help mfiread
    error('Numele fisierului trebuie dat ca sir !');
end;
if (isempty(findstr(filename, '.'))==1)
    filename=[filename, '.mfi'];
end;
fid=fopen(filename, 'rb', 'l');

```

```

if (fid== -1)
    error(['Eroare la deschiderea fisierului ',filename]);
end;
bfType=fread(fid,2,'char');
setstr(bfType);
if (bfType~=['M';'F'])
    fclose(fid);
    error('Acesta nu este un fisier MFI !');
end;
biWidth=fread(fid,1,'ushort');
biHeight=fread(fid,1,'ushort');
biCompression=fread(fid,1,'uchar');
biReserved=fread(fid,1,'uchar');
X=fread(fid,[biHeight,biWidth],'uchar');
X=X'+1;
fclose(fid);

```

A.1.6 mfiwrite

Scrierea fişierelor în format .mfi: imagini cu nivele de gri, fără tabelă de culoare, stocate în format de 8 biți per pixel în gama 0-255, în ordinea normală de baleiaj pe linii a imaginii. Imaginea este citită dintr-o matrice și din toate valorile este scăzută o unitate pentru a permite compatibilitatea cu formatul unsigned char al valorilor scrise în fişier (deci se presupune că valorile indecșilor sunt în intervalul 1-256). Utilizarea funcției:

```
mfiwrite( nume_matrice_imagine, 'nume_fisier_imagine');
```

unde *nume_matrice_imagine* este numele unei variabile de tip matrice din spațiul de lucru Matlab, iar *'nume_fisier_imagine'* trebuie dat între apostrofuri și este numele DOS complet și valid al unui fişier de imagine; dacă extensia nu este precizată, se presupune implicit extensia .mfi. Cod de implementare:

```

if (nargin~=2)
    help mfiwrite
    error('Necesita doua argumente');
end;
if (isstr(filename)~=1)
    help mfiwrite
    error('Al doilea argument trebuie sa fie un sir');
end;
if (isempty(findstr(filename, '.'))==1)

```

```

    filename=[filename, '.mfi'];
end;
fid=fopen(filename, 'wb', 'l');
if (fid==-1)
    error(['Eroare la deschiderea ', filename, ' pentru scriere']);
end;
fwrite(fid, ['M'; 'F'], 'char');
[biHeight, biWidth]=size(X);
fwrite(fid, biHeight, 'short');
fwrite(fid, biWidth, 'short');
biReserved=0;
fwrite(fid, biReserved, 'short');
biComp=0;
fwrite(fid, biComp, 'short');
X=(X-1)';
fwrite(fid, X(:), 'uchar');
fclose(fid);

```

A.2 Calcul caracteristici statistice

A.2.1 cooc

Calculează matricea de coocurență pentru o regiune de formă dreptunghiulară și un vector de translație fixat. Funcția se apelează cu:

```
matrice_coocurenta = cooc(regiune, vector);
```

unde *regiune* este o matrice ce conține valorile pentru care se calculează matricea de coocurență iar *vector* este vectorul de translație între pozițiile spațiale ale pixelilor ce formează perechile a căror probabilitate de apariție este calculată. Vectorul de translație este o matrice linie cu două coloane, ce reprezintă translația pe orizontală și respectiv translația pe verticală. În mod implicit vectorul de translație este considerat nul, și atunci matricea de coocurență este o matrice diagonală, având pe diagonala principală histograma valorilor din regiunea *regiune*. Este necesar ca matricea *regiune* să conțină doar valori naturale supraunitare; valorile sunt truncheate și limitate inferior la 1. Rezultatul *matrice_coocurenta* calculat este o matrice pătrată de dimensiune egală cu valoarea maximă întâlnită în matricea *regiune*. Cod de implementare:

```
function out=cooc(in,t)
if (exist('t')==0)
```

```

    t=[0 0];
end
in=fix(in);
if (min(in(:))<1)
    p=find(in<1);
    in(p)=ones(size(p));
end
[h,w]=size(in);
m=max(in(:));
out=zeros(m);
for i=max(1,1-t(1)):min(h,h-t(1))
    for j=max(1,1-t(2)):min(w,w-t(2))
        out(in(i,j),in(i+t(1),j+t(2)))=out(in(i,j),in(i+t(1),j+t(2)))+1;
    end
end
end

```

A.2.2 histo

Calculează histograma (probabilitatea de apariție a valorilor) dintr-o matrice. Funcția se apelează prin:

$$[h, H] = \text{histo}(\text{matrice}, \text{switch}, \text{maxim});$$

unde h este histograma valorilor (corespunzătoare funcției de densitate de probabilitate) iar H este histograma cumulativă (funcția de repartiție) pentru valorile din matricea de intrare *matrice*. Valorile din matricea de intrare trebuie să fie numere naturale cuprinse între 1 și *maxim* (în mod implicit valoarea pentru *maxim* este 256). Histograma h și histograma cumulativă H sunt vectori linie de *maxim* componente. Parametrul *switch* permite două moduri de calcul: prin baleierea matricii element cu element (*switch*=1) sau prin căutarea numărului de elemente ce au fiecare valoare posibilă din intervalul [1, *maxim*] (*switch*=0). Valoarea implicită a parametrului este 0, având în vedere că metoda de calcul corespunzătoare este mult mai rapidă. Cod de implementare:

```

function [h,hcum]=histo(in,sw,M)
if (exist('sw')==0)
    sw=0;
end
if (exist('M')==0)
    M=256;
end
[hh,w]=size(in);

```

```

h=zeros(1,M);
if (sw==0)
for i=1:M
    h(i)=prod(size(find(in==i)));
end
end
if (sw==1)
    for i=1:hh
        for j=1:w
            h(in(i,j))=h(in(i,j))+1;
        end
    end
end
h=h/(w*hh);
hcum=cumsum(h);

```

A.2.3 izoseg

Calculează matricea de izosegmente pentru o regiune dată, pe direcția verticală. Funcția se apelează prin:

```
matrice_izosegmente = izoseg(regiune);
```

unde *regiune* este o matrice ce trebuie să conțină doar valori naturale supraunitare. Ieșirea *matrice_izosegmente* este o matrice având un număr de linii egal cu valoarea maximă din matricea *regiune*, iar un număr de coloane egal cu numărul maxim de elemente consecutive având aceeași valoare aflate pe coloanele matricii *regiune*. Cod de implementare:

```

function out=izoseg(in)
in=fix(in);
[h,w]=size(in);
m=max(in(:));
out=zeros(m,h);
for i=1:m
    p=find(in==i);
    l=max(size(p));
    count=1;
    for j=2:l
        if (p(j)==(p(j-1)+1))&(fix((p(j)-1)/h)==fix((p(j-1)-1)/h));
            count=count+1;
        else

```

```

        out(i,count)=out(i,count)+1;
        count=1;
    end
end
    out(i,count)=out(i,count)+1;
end
[i,j]=find(out);
out=out(1:max(i),1:max(j));

```

A.2.4 mas_cooc

Calculează parametri statistici de interes pe baza unei matrici de coocurență. Funcția se apelează prin:

```
param = mas_cooc(matrice_coocurenta);
```

unde *matrice_coocurenta* este o matrice de coocurență a unei regiuni iar rezultatul *param* este un vector linie cu 7 elemente, ce reprezintă măsurile statistice de omogenitate, contrast, entropie, corelație, omogenitate locală, directivitate și uniformitate. Cod de implementare:

```

function out=mas_cooc(in)
[h,w]=size(in);
nc=sum(sum(in));
out(1)=sum(sum(in.^2))/(nc*nc);
for i=1:w
    p(i)=sum(diag(in,i))+sum(diag(in,-i));
end
i=0:(w-1);
out(2)=sum(p*(i.^2)')/(nc*(w-1)*(w-1));
out(5)=sum(p./(1+i.^2))/nc;
p=find(in~=0);
p=in(p);
out(3)=1-sum(sum(p.*log(p)))/(nc*log(nc));
p=sum(in');
mx=p*i';
sx=p*((i-mx).^2)';
p=sum(in);
my=p*i';
sy=p*((i-my).^2)';
out(4)=abs(sum(sum(((i-mx)'*(i-my)).*in)))/(nc*sqrt(sx*sy));

```

```

out(6)=trace(in)/nc;
out(7)=sum(diag(in).^2)/(nc*nc);

```

A.2.5 mas_four

Calculează distribuția spectrală a energiei unei imagini. Funcția se apelează prin:

```
rezultat = mas_four(spectru, nr);
```

unde *rezultat* este un vector cu *nr* componente (în mod implicit *nr* este 64) și *spectru* este o matrice a cărei dimensiune minimă este de cel puțin de două ori mai mare decât *nr* și care reprezintă un spectru Fourier centrat de energie al unei imagini. Obligatoriu, valorile din matricea *spectru* sunt pozitive. Cod de implementare:

```

function out=mas_four(in,nr)
if (exist('nr')==0)
    nr=64;
end
[h,w]=size(in);
mid_h=floor(h/2);
mid_w=floor(w/2);
if (nr>min([mid_h mid_w]))
    nr=min([mid_h mid_w]);
end
pash=floor(mid_h/nr);
pasw=floor(mid_w/nr);
out=zeros(nr-1,1);
for k=1:nr-1
    kh=k*pash;
    kw=k*pasw;
    out(k)=sum(sum(in(mid_h-kh:mid_h+kh,mid_w-kw:mid_w+kw)));
end
out=out./sum(sum(in));

```

A.2.6 mas_izo

Calculează parametri statistici de interes pe baza unei matrici de izosegmente. Funcția se apelează prin:

```
param = mas_izo(matrice_izosegmente);
```

unde *matrice_izosegmente* este o matrice de izosegmente a unei regiuni iar rezultatul *param* este un vector linie cu 5 elemente, ce reprezintă măsurile statistice de proporție a plajelor scurte, proporție a plajelor lungi, heterogenitate a nivelelor de gri, heterogenitate a lungimilor plajelor și procentaj al plajelor. Cod de implementare:

```
function rez=mas_izo(in)
[h,w]=size(in);
i=1:w;
hist=in*i';
slp=sum(sum(in));
rez(5)=slp/sum(hist);
i=i.^2;
t=[];
for l=1:h
    t=[t;i];
end
rez(1)=sum(sum(in./t))/slp;
rez(2)=sum(sum(in.*t))/slp;
rez(3)=sum(sum(in').^2)/slp;
rez(4)=sum(sum(in).^2)/slp;
```

A.2.7 moments

Calculează momente statistice, momente statistice invariante la translație și scalare și invarianți de formă. Funcția se apelează prin:

$$[mom, mom_t, mom_st, fi] = moments(regiune, nmax)$$

unde *regiune* este o matrice ce conține valorile de interes iar *nmax* este ordinul până la care se calculează momentele (în mod implicit acesta este 3). Rezultatele sunt *mom*, *mom_t* și *mom_st* sunt matrici pătrate de dimensiune *nmax*+1 ce conțin momentele statistice, momentele statistice centrate (invariante la translație) și momentele statistice invariante la translație și scalare. Dacă toate cele patru argumente de ieșire sunt recuperate în variabile, *fi* este un vector linie conținând primii 6 invarianți de formă (caz în care *nmax* trebuie să fie cel puțin 3). Cod de implementare:

```
function [mom,mom_t,mom_st,fi]=moments(in,n)
if (exist('n')==0)
    n=3;
end
[i,j,v]=find(in);
```

```

im=i-mean(i);
jm=j-mean(j);
aria=sum(v);
for p=0:n
    for q=0:n
        mom(p+1,q+1)=sum(v.*(i.^p).*(j.^q));
        mom_t(p+1,q+1)=sum(v.*(im.^p).*(jm.^q));
        mom_st(p+1,q+1)=sum(v.*(im.^p).*(jm.^q))/(aria^((p+q+2)/2));
    end
end
if (nargout==4)
    fi(1)=mom_st(3,1)+mom_st(1,3);
    fi(2)=(mom_st(3,1)-mom_st(1,3))^2+4*mom_st(2,2)^2;
    fi(3)=(mom_st(4,1)-3*mom_st(2,3))^2+(mom_st(1,4)-3*mom_st(3,2))^2;
    fi(4)=(mom_st(4,1)+mom_st(2,3))^2+(mom_st(1,4)+mom_st(3,2))^2;
    fi(5)=(mom_st(4,1)-3*mom_st(2,3))*(mom_st(4,1)+mom_st(2,3))*
(mom_st(4,1)+mom_st(2,3))^2-3*(mom_st(3,2)+mom_st(1,4))^2;
    fi(5)=fi(5)+(mom_st(1,4)-3*mom_st(3,2))*(mom_st(1,4)+mom_st(3,2))*
(mom_st(1,4)+mom_st(3,2))^2-3*(mom_st(2,3)+mom_st(4,1))^2;
    fi(6)=(mom_st(3,1)-mom_st(1,3))*((mom_st(4,1)+mom_st(2,3))^2-
(mom_st(3,2)+mom_st(1,4))^2);
    fi(6)=fi(6)+4*mom_st(2,2)*(mom_st(4,1)+mom_st(2,3))*(mom_st(1,4)+mom_st(3,2));
end

```

A.2.8 whisto

Calculează histograma ponderată prin laplacian a valorilor dintr-o regiune. Funcția se apelează prin:

$[h, H] = \text{whisto}(\text{regiune}, \text{param}, \text{masca});$

unde h este histograma ponderată și H este histograma cumulativă ce îi este asociată (vectori de dimensiune 256). Histogramele sunt calculate pentru valorile din matricea regiune și ponderate cu puterea $param$ a expresiei $1 + \text{modulul laplacianului din fiecare element al matricii regiune}$. În mod implicit, valoarea puterii $param$ este -1, corespunzând neluării în considerare a elementelor ce au vecini de valori diferite. Laplacianul este calculat implicit dacă variabila $masca$ nu este dată la apelul funcției; altfel, ponderarea este calculată prin filtrarea liniară a matricii $regiune$ cu nucele de filtrare 3×3 $masca$. Cod de implementare:

```
function [h,hcum]=whisto(in,p,mask)
```

```

if (exist('p')==0)
    p=-1;
end
if (exist('mask')==0)
    mask=[0 -1 0;-1 4 -1;0 -1 0];
end
[hh,w]=size(in);
h=zeros(1,256);
in=[zeros(1,w+2);zeros(h,1) in zeros(h,1);zeros(1,w+2)];
for i=2:hh+1
    for j=2:w+1
        temp=in(i-1:i+1,j-1:j+1);
        la=(temp(:))'*mask(:);
        h(in(i,j))=h(in(i,j))+(1+abs(la))^p;
    end
end
h=h/(w*hh);
hcum=cumsum(h);

```

A.3 Segmentare regiuni

A.3.1 bhat

Determinarea automată a pragurilor de segmentare prin metoda Bhattacharyya. Mod de utilizare:

```
[prag, z, interval, param]=bhat(histo, limit);
```

unde *histo* este histograma imaginii pentru care se calculează pragurile de segmentare, iar *limit* este lungimea minimă a unui interval de descreștere a funcției de decizie și are implicit valoarea 1. Rezultatele întoarse de funcție sunt: *prag*: vectorul de praguri de segmentare, *z*: funcția de decizie, *interval*: matricea de intervale pe care funcția *z* este descrescătoare și *param*: matricea de parametri statistici (medie, dispersie) pentru modurile determinate în histogramă. Cod de implementare:

```

function [prg,z,interval,param]=bhat(h,limit);
if (exist('limit')==0)
    limit=1;
end
no=max(size(h));

```

```

z=log(h(2:no)+eps)-log(h(1:no-1)+eps);
prg=[];
prg_start=[];
desc=0;
k=1;
count=0;
start=1;
for i=2:max(size(z))
    if (z(i)<z(i-1))
        if (desc==0)
            start=i-1;
        end
        desc=1;
        count=count+1;
    else
        if (desc==1)&(count>limit)
            prg(k)=i;
            prg_start(k)=start;
            k=k+1;
        end
        desc=0;
        count=0;
    end
end
if (desc==1)&(count>limit)
    prg(k)=i;
    prg_start(k)=start;
end
for i=1:k
    xdata=prg_start(i):prg(i);
    ydata=z(prg_start(i):prg(i));
    poly=polyfit(xdata,ydata,1);
    param(i,:)=[poly(2)/abs(poly(1)) sqrt(1/abs(poly(1)))];
end
interval=[prg_start' prg'];

```

A.3.2 cumthresh

Segmentare pe histograma cumulativă. Mod de utilizare:

[prag1, prag2]=cumthresh(histo, procent, tip);

unde *prag1* și *prag2* sunt nivelele de gri ce încadrează cel mai bine pragul de segmentare ideal pentru care suprafața ocupată în imagine de obiectele având nivelul de gri mai mic (*tip=0*), respectiv mai mare (*tip=1*) decât pragul de segmentare. Implicit *tip=1*. Suprafața relativă ocupată în imagine de obiectele de interes este specificată de *procent* (valoare implicită *0.1*). Imaginea de segmentat este descrisă de histograma sa, *histo*. Cod de implementare:

```
function [t1,t2]=cumthres(h,proc,type)
if (exist('proc')==0)|(proc=[] )
    proc=.1;
end
if(exists('type')==0)
    type=0;
end
H(i)=cumsum(h);
if (type==0)
    p=find(H<=proc);
    t1=p(max(size(p)));
    p=find(H>proc);
    t2=p(1);
end
if (type==1)
    p=find(H<=1-proc);
    t1=p(max(size(p)));
    p=find(H>1-proc);
    t2=p(1);
end
```

A.3.3 etichete

Etichetează o imagine binară prin propagarea etichetelor în regiuni conexe. Mod de utilizare:

```
rezultat=etichete(intrare, val_obiecte, val_fundal);
```

unde *rezultat* este imaginea etichetată cu etichete numerice incrementate cu 1. Fundalul are eticheta 1, etichetele obiectelor încep de la valoarea 2. Imaginea binară inițială este *intrare*, caracterizată de valorile *val_obiecte* pentru pixelii de obiect (valoare implicită 2) și *val_fundal* pentru pixelii de fundal (valoare implicită 1). Etichetarea se bazează pe creșterea regiunilor. Cod de implementare:

```

function [out]=eticete(in,val_obj,val_bk)
if (exist('val_bk')==0)
    val_bk=1;
end
if (exist('val_obj')==0)
    val_obj=2;
end
if (val_bk==val_obj)
    error('Fundalul si obiectele nu pot avea aceeasi valoare !')
end
out=ones(size(in));
[h,w]=size(in);
val=2;
p=find(in==val_obj);
while (p~=[])
    seed_i=rem(p(1),h);
    seed_j=fix(p(1)/h)+1;
    sir=grow_reg(in,seed_i,seed_j,0);
    p=(sir(:,2)-1)*h+sir(:,1);
    out(p)=val*ones(size(p));
    in(p)=val_bk*ones(size(p));
    val=val+1;
    p=find(in==val_obj);
end

```

A.3.4 etic1

Etichetarea unei imagini binare prin metoda tabelului de corespondențe între etichete.
Mod de utilizare:

```
rezultat=etic1(intrare);
```

unde *rezultat* este imaginea etichetată cu etichete numerice incrementate cu 1. Fundalul are eticheta 1, etichetele obiectelor încep de la valoarea 2. Imaginea binară inițială este *intrare*, caracterizată de valorile 2 pentru pixelii de obiect și 1 pentru pixelii de fundal.
Cod de implementare:

```

function [out,tab]=etic1(in)
vv=[-1 -1;-1 0;-1 1;0 -1];
[lv,cv]=size(vv);
[h,w]=size(in);

```


A.3.5 gausmixt

Generarea unei histograme ce corespunde unei mixturi de moduri gaussiene. Mod de utilizare:

```
histo=gausmixt(param, procente, interval);
```

unde *histo* este histograma (distribuția) generată, formată din moduri gaussiene descrise de parametrii medie și dispersie (pe liniile matricii *param*), mixate în proporțiile descrise de vectorul *procente*. Punctele de calcul ale funcțiilor generate sunt numerele întregi din intervalul a cărui limite de jos și sus sunt specificate în vectorul *interval* (în mod implicit *interval*=[0 255]). Cod de implementare:

```
function [fct]=gausmixt(params,p,range)
if (exist('params')==0)
    error('Trebuie specificati parametrii modurilor')
end
[no,w]=size(params);
if (w~=2)
    error('Parametrii modurilor nu sunt specificati corect')
end
if (exist('range')==0)
    range=[0 255];
end
x=range(1):range(2);
if (exist('p')==0)
    p=ones(1,no)/no;
end
if (p==[])
    p=ones(1,no)/no;
end
p=p/sum(p);
mu=params(:,1);
sigma=params(:,2);
for i=1:no
    P(i,:)=(p(i)/(sigma(i)*sqrt(2*pi)))*exp(-((x-mu(i))/sigma(i)).^2);
end
fct=sum(P)/sum(sum(P));
```

A.3.6 grow_reg

Creșterea unei regiuni uniforme. Mod de utilizare:

```
[pozitii, valori]=grow_reg(imag, x_start, y_start, prag, numar);
```

unde *pozitii* este vectorul indicilor pixelilor din imaginea inițială *imag* ce formează regiunea, iar *valori* este vectorul valorilor (nivelelor de gri) a pixelilor selectați în regiune. Sămânța (germenele de creștere al regiunii) este pixelul din imagine având coordonatele *x_start* și *y_start*. Regiunea este crescută având o toleranță *prag* pentru diferența de nivele de gri a pixelilor din regiune (implicit *prag=15*) și având cel mult *numar* pixeli (implicit *numar=200*). Cod de implementare:

```
function [sir,sir_val]=grow_reg(img,i,j,prag,nrmax)
if (exist('prag')==0)
    prag=15;
end
if (prag==[])
    prag=15;
end
if (exist('nrmax')==0)
    nrmax=200;
end
[dimx,dimy]=size(img);
seed=img(i,j);
map=zeros(size(img));
map(i,j)=1;
sir=zeros(nrmax,2);
sir_val=zeros(nrmax,1);
sir(1,1)=i;
sir(1,2)=j;
ptr=2;
sir_val(1)=seed;
ptr1=1;
while (ptr1<ptr) & (ptr < nrmax),
    i=sir(ptr1,1);
    j=sir(ptr1,2);
    for m=-1:1,
        for n=-1:1,
            if i+m >=1 & i+m <= dimx & j+n >=1 & j+n <=dimy ,
                if ~map(i+m,j+n),
                    if abs(img(i+m,j+n)-seed) <= prag,
                        sir(ptr,:)= [i+m,j+n];
```

```

        sir_val(ptr)=img(i+m,j+n);
        map(i+m,j+n)=1;
        ptr=ptr+1;
    end
end
end
end
ptr1=ptr1+1;
end
b=max(size(find(sir_val)));
sir=sir(1:b,:);
sir_val=sir_val(1:b);

```

A.3.7 nakagawa

Verificarea separabilității modurilor alăturate ale unei distribuții. Mod de utilizare:

```
lista=nakagawa(histograma, param);
```

unde *lista* este un tabel în care sunt trecuți indicii perechilor de moduri vecine ce nu satisfac una dintre condițiile de separație, precum și condiția ce nu este îndeplinită. Mixtura de moduri este specificată de distribuția (*histograma*) *histograma* și lista de parametri *param*. Lista de parametri este o matrice cu două coloane ce conține pentru fiecare mod media și dispersia. Cod de implementare:

```

function [bad_list]=nakagawa(h,params)
if (exist('params')==0)
    error('Parametrii modurilor lipsesc')
end
[no,w]=size(params);
if (w~=2)
    error('Parametrii modurilor nu sunt specificati corect')
end
if (no==1)
    error('Problema nu are sens pentru un singur mod')
end
for i=2:no
    dif=params(i,1)-params(i-1,1);
    rap=params(i,2)/params(i-1,2);
    rap2=min(h(params(i,1):params(i-1,1)))/min([params(i,1) params(i-1,1)]);

```

```

    if (dif<=4)
        bad_list=[bad_list;num2str(i) ' ' num2str(i-1)
' medii prea apropiate'];
    end
    if (rap>10)|(rap<.1)
        bad_list=[bad_list;num2str(i) ' ' num2str(i-1)
' dispersii prea diferite'];
    end
    if (rap2>.8)
        bad_list=[bad_list;num2str(i) ' ' num2str(i-1)
' separatie neclara'];
    end
end

```

A.3.8 thresh

Segmentare cu praguri pe histogramă (thresholding). Mod de utilizare:

```
rezultat=thresh(init, prag, switch, prag_min, prag_max);
```

unde imaginea de ieșire *rezultat* este obținută fie ca o imagine de etichete (*switch=1*, valoare implicită), fie ca o aproximare prin nivelul de gri mediu (*switch=2*) a imaginii inițiale *init*, prin segmentarea după histogramă a imaginii inițiale *init* după vectorul de praguri *prag*. Dacă vectorul *prag* nu se specifică, se consideră implicit o segmentare în două clase, cu pragul de 128. Pragurile de segmentare minim și respectiv maxim sunt *prag_min* și *prag_max* și au implicit valorile 1 și 257 (acestea se adaugă automat la vectorul de praguri). Etichetele sunt alocate începând cu 1 și incrementate cu 1; etichetele de valoare mică sunt alocate obiectelor cu nivele de gri mai mici. Cod de implementare:

```

function out=thresh(in,prag,t,prag_min,prag_max)
if (exist('prag')==0)|(prag==[])
    prag=[128];
end
if (exist('t')==0)
    t=1;
end
if (exist('prag_min')==0)
    prag_min=1;
end
if (exist('prag_max')==0)
    prag_max=257;

```

```

end
out=ones(size(in));
prag=[prag_min prag prag_max];
np=max(size(prag));
for i=1:np-1
    p=find((in>=prag(i))&(in<prag(i+1)));
    if (t==1)
        val=i;
    else
        temp=in(p);
        val=round(mean(temp(:)));
    end
    out(p)=val*ones(size(p));
end

```

A.4 Extragere contururi

A.4.1 compas

Operator compas pentru extragerea contururilor. Funcția se apelează prin:

```
harta_intensitati=compas(imagine_init, masca_init);
```

unde rezultatul *harta_intensitati* este o imagine cu nivele de gri (rescalate între 1 și 256), de aceleași dimensiuni cu imaginea de prelucrat *imagine_init*, ce reprezintă harta de intensități de tranziție. Nucleul de filtrare *masca_init* este o matrice 3 x 3, având suma valorilor nulă, ce reprezintă nucleul derivativ pe direcție orizontală. Cod de implementare:

```

function [cont]=compas(in,mask);
[h,w]=size(in);
H1=mask(:);
H2=rot90(mask,1);
H2=H2(:);
H3=rot90(mask,2);
H3=H3(:);
H4=rot90(mask,3);
H4=H4(:);
mask=[H1(2) H1(1) H1(4);H1(3) H1(5) H1(7);H1(6) H1(9) H1(8)];
H5=mask(:);
H6=rot90(mask,1);

```

```

H6=H6(:);
H7=rot90(mask,2);
H7=H7(:);
H8=rot90(mask,3);
H8=H8(:);
H=[H1';H2';H3';H4';H5';H6';H7';H8'];
cont=zeros(size(in));
for i=2:h-1
    for j=2:w-1
        t=in(i-1:i+1,j-1:j+1);
        cont(i,j)=max(abs(H*t(:)));
    end
end
cont=remap(cont);

```

A.4.2 gradient

Operator de gradient pentru extragerea contururilor. Funcția se apelează prin:

```
harta_intensitati=gradient(imagine_init, masca_init);
```

unde rezultatul *harta_intensitati* este o imagine cu nivele de gri (rescalate între 1 și 256), de aceleași dimensiuni cu imaginea de prelucrat *imagine_init*, ce reprezintă harta de intensități de tranziție. Nucleul de filtrare *masca_init* este o matrice 3 x 3, având suma valorilor nulă, ce reprezintă nucleul derivativ pe direcție orizontală. Cod de implementare:

```

function [cont]=gradient(in,mask);
[h,w]=size(in);
Hx=mask(:);
Hy=rot90(mask);
Hy=Hy(:);
cont=zeros(size(in));
for i=2:h-1
    for j=2:w-1
        t=in(i-1:i+1,j-1:j+1);
        cont(i,j)=abs(Hx'*t(:))+abs(Hy'*t(:));
    end
end
cont=remap(cont);

```

A.4.3 fourdesc

Extrage funcția de contur a unei forme pentru calculul descriptorilor Fourier ai acesteia.
Mod de utilizare:

```
[u, imcont] = fourdesc(im);
```

unde *im* este imaginea binară de intrare ce conține un unic obiect ai cărui pixeli au valoarea 1, *u* este vectorul complex ce conține coordonatele punctelor de contur în ordinea parcurgerii acestuia, iar *imcont* este imaginea binară ce conține conturul. Cod de implementare:

```
function [z,b]=fourdesc(a)
[l,c]=size(a);
temp=a;
for i=2:l-1,
    for j=2:c-1,
        temp(i,j)=min(min(a(i-1:i+1,j-1:j+1)));
    end
end
a=a-temp;
for i=2:l-1,
    for j=2:c-1,
        if a(i,j),
            if (a(i,j-1)&a(i-1,j)&(~a(i+1,j+1))) | ...
                (a(i-1,j)&a(i,j+1)&(~a(i+1,j-1))) | ...
                (a(i,j+1)&a(i+1,j)&(~a(i-1,j-1))) | ...
                (a(i+1,j)&a(i,j-1)&(~a(i-1,j+1))),
                a(i,j)=0;
            end
        end
    end
end
for i=2:l-1,
    for j=2:c-1,
        if a(i,j),
            B=a(i-1:i+1,j-1:j+1);
            if (sum(abs(conv(B([1 2 3 6 9 8 7 4]),[-1 1]))) == 2)
                a(i,j)=0;
            end
        end
    end
end
end
```

```

b=a;
L=sum(a(:));
z=zeros(1,L);
temp=find(a);
i=floor(temp(1)/lin)+1;
j=temp(1)-(i-1)*lin;
z(1)=i+sqrt(-1)*j;
a(i,j)=0;
i=1;
while(1)
    c1=real(z(i));
    c2=imag(z(i));
    test=0;
    for k=-1:1,
        for l=-1:1,
            if a(c1+k,c2+l)==1,
                test=1;
                break;
            end
        end
        if test==1,
            break;
        end
    end
    if test==0
        break;
    end
    i=i+1;
    z(i)=c1+k+sqrt(-1)*(c2+l);
    a(c1+k,c2+l)=0;
end

```

A.5 Prelucrări generale

A.5.1 graymas

Calculează măsuri cantitative de calitate a unei imagini. Funcția se apelează prin:

$[snr, psnr, mae] = graymas(orig, distort, nr);$

unde *orig* și *distort* sunt matrici având aceleași dimensiuni, reprezentând imaginea originală (fără distorsiuni) și respectiv imaginea degradată, a cărei calitate se dorește măsurată. Parametrul *nr* (valoare implicită nulă) specifică numărul de linii și de coloane de pe marginile imaginii ce sunt excluse de la comparație. Rezultatele sunt raportul semnal zgomot *snr* (în dB), raportul semnal de vârf zgomot *psnr* (în dB) și eroarea absolută medie *mae*. Cod de implementare:

```
function [snr,psnr,mae]=graymas(x,y,win)
if (exist('win')==0)
    win=0;
end
[h,w]=size(x);
x=x(1+win:h-win,1+win:w-win);
y=y(1+win:h-win,1+win:w-win);
[h,w]=size(x);
dif=abs(x-y);
s=sum(dif(:).^2);
mae=mean(dif(:));
sorig=sum(sum(x.^2));
snr=10*log10(sorig/s);
psnr=10*log10((h-1)*(w-1)*(max(max(x))^2)/s);
```

A.5.2 lfilter

Calculează filtrarea neliniară de ordine printr-un L-filtru a unei imagini. Funcția se apelează prin:

```
imagine_rezultat=lfilter(imagine_init, ponderi);
```

unde matricea *imagine_rezultat* conține rezultatul filtrării matricii *imagine_init* prin L-filtrul definit de vectorul de coeficienți *ponderi*. Coeficienții sunt specificați ca un vector linie cu 9 componente, prima componentă corespunzând statisticii de ordin minim și ultima componentă corespunzând statisticii de ordin maxim din fereastra de filtrare de 3 x 3, centrată. În mod implicit, filtrarea este de mediere aritmetică. Filtrele uzuale de ordonare ce se pot obține sunt: filtrul median *ponderi*=[0 0 0 0 1 0 0 0 0], erodarea morfologică *ponderi* = [1 0 0 0 0 0 0 0 0], dilatarea morfologică *ponderi*=[0 0 0 0 0 0 0 0 0 1], gradientul morfologic *ponderi*=[-1 0 0 0 0 0 0 0 1], filtrul de mijloc *ponderi*=[0.5 0 0 0 0 0 0 0 0.5]. Cod de implementare:

```
function [out]=lfilter(in,ww)
if (exist('ww')==0)
```

```

    ww=ones(1,9)/9;
end
[h,w]=size(in);
out=in;
for i=2:h-1
    for j=2:w-1
        temp=in(i-1:i+1,j-1:j+1);
        temp=sort(temp(:));
        out(i,j)=fix(ww*temp);
    end
end

```

A.5.3 `linfilt`

Filtrarea liniară a unei imagini. Funcția se apelează prin:

```
image_rezultat=linfilt(image_init, nucleu, switch);
```

unde matricea *image_rezultat* conține rezultatul filtrării matricii *image_init* prin filtrul liniar definit de matricea de coeficienți *nucleu*. Dimensiunile matricii *nucleu* trebuie să fie impare. Suma valorilor din *nucleu* trebuie să fie 1 pentru o filtrare de netezire sau 0 pentru o filtrare derivativă. Parametrul *switch* controlează modul de realizare a filtrării: în domeniul spațial prin *switch*=0 sau în domeniul de frecvență (alegere implicită) prin *switch*=1 (această din urmă variantă este mult mai rapidă). Cod de implementare:

```

function [out]=linfilt(in,mask,sw)
if (exist('sw')==0)
    sw=1;
end
if nargin < 2,
    help linfilt
    error('Nu ati furnizat numarul necesar de parametri!');
end
[li ci]=size(in);
[ln cn]=size(mask);
if ~(ln-2*floor(ln/2) | cn-2*floor(cn/2)),
    help linfilt
    error('Dimensiunile nucleului de filtrare trebuie sa fie numere impare!');
end
tol=10^(-5);
sum_coef=sum(mask(:));

```

```

if round(sum_coef-1)>tol & round(sum_coef)>tol,
    error('Nucleul de filtrare nu corespunde');
end
ln=floor(ln/2);
cn=floor(cn/2);
if (sw==1)
    out=round(real(ifft2(fft2(in).*fft2(mask,li,ci))));
    out=max(1,min(256,out));
    out=[out out;out out];
    out=out(1+ln:li+ln,1+cn:ci+cn);
else
    in=[zeros(ln,ci+2*cn);zeros(li,cn) in zeros(li,cn);zeros(ln,ci+2*cn)];
    for i=1+ln:li+ln,
        for j=1+cn:ci+cn,
            a=in(i-ln:i+ln,j-cn:j+cn);
            out(i-ln,j-cn)=abs(round(a(:)')*mask(:)));
        end
    end
    out=max(1,min(256,out));
end

```

A.5.4 remap

Funcție de scalare a valorilor unei matrici. Mod de utilizare:

```
rezultat=remap(intrare, val_jos, val_sus);
```

unde matricea de ieșire *rezultat* are aceleași dimensiuni cu matricea de inițială *intrare*. Gama de valori a componentelor din matricea de ieșire este cuprinsă între valoarea minimă *val_jos* (valoare implicită 1) și valoarea maximă *val_sus* (valoare implicită 256). Componentele matricii de ieșire sunt truncheate la numere întregi. Dacă matricea inițială are toate componentele identice, matricea de ieșire va avea toate componentele identice, de valoare egală cu media aritmetică a *val_jos* și *val_sus*. Cod de implementare:

```

function [X]=remap(IN,lo,hi)
if (exist('IN')==0)
    help remap
    error('Input data missing !')
end
if (exist('lo')==0)
    lo=1;

```

```

end
if (exist('hi')==0)
    hi=256;
end
m=min(min(IN));
M=max(max(IN));
if (M~=m)
    a=(hi-lo)/(M-m);
    b=lo-a*m;
    X=fix(a*IN+b);
else
    X=((hi+lo)/2)*ones(size(X));
end

```

A.5.5 rot45

Rotația unei matrici cu 45° . Mod de utilizare:

```
rezultat=rot45(intrare);
```

unde *rezultat* este matricea inițială *intrare* rotită în sens orar cu 45° . Matricea de intrare trebuie să fie pătrată. Cod de implementare:

```

function out=rot45(in)
[h,w]=size(in);
dim=min(h,w);
in=in(1:dim,1:dim);
out=[];
for i=-(dim-1):(dim-1)
    temp=[diag(in,i);zeros(abs(i),1)];
    out=[out temp];
end

```

Anexa B

Ghid de utilizare a programului SAIN

Programul SAIN - Sistem de analiză a imaginilor binare (Système d'Analyse d'Images Normalisées) a fost conceput ca un instrument de test și experimentare, atât în ceea ce privește prelucrarea imaginilor binare și extragerea de parametri reprezentativi ai acestora, cât și în domeniul realizării de programe educaționale (structurare, implementare, ...). Ideea de plecare a fost realizarea unui program interactiv și convivial, cu posibilități de integrare în sisteme de calcul de putere redusă (de tip calculator personal ieftin); pentru aceasta a fost aleasă o programare pentru integrarea sub Windows. Stilul de programare ales este stilul de programare orientat obiect OOP (Object Oriented Programming) într-un limbaj ce permite numeroase facilități, și anume Borland C++ 3.1.

Se consideră ca date de intrare pentru program imagini binare, reprezentate sub forma unor matrici de dimensiune variabilă (dar limitată superior la o valoare maximă de 600 x 600 pixeli), codate cu convenția de asociere a unei valori nule pentru fondul imaginii și a unei valori nenule (1) pentru pixelii obiectelor. Imaginile se pot afla stocate în fișiere cu anumite formate (BITMAP sau MFI), sau pot fi create chiar în interiorul programului prin facilități rudimentare de editare de forme geometrice simple (dreptunghiuri și elipse).

Programul permite exportul principalelor tipuri de imagini prelucrate sub formă de fișiere BITMAP: imaginile binare propriu-zise rezultate în urma diverselor prelucrări, imaginile diferitelor hărți asociate unei imagini binare (hărți de distanțe Danielsson, hărți Voronoi) sau imaginile grafice ale diverselor semnături ale formelor. Semnătura unei forme poate fi reținută sub forma specială a unui fișier semnătură, posibil de utilizat pentru prelucrări ulterioare specifice (extrageri de parametri, aproximații ...).

Operațiile implementate urmăresc să pună la dispoziția utilizatorului o gamă cât mai completă de posibilități de operare; se întâlnesc implementate în programul SAIN ope-

rațiile binare și morfologice, operațiile de extragere a hărților de distanțe Danielsson și Voronoi, operațiile de calcul a unor puncte caracteristice pentru o formă (centrul de greutate, centrele cercurilor înscris și circumscris, punctele de contur, punctele skeletonului). Alte operații complementare (cum ar fi etichetare unei imagini sau aproximarea poligonal a unui contur) sunt de asemenea disponibile. De asemenea, se permite extragerea unui mare număr de parametri de circularitate și convexitate, momente statistice și parametri de încadrare. La toate acestea se adaugă facilitățile mediului de operare Windows, cu posibilitatea de rulare a aplicațiilor multiple, gestiunea documentelor multi fereastră, aspectul ”standardizat” al interfeței utilizator și al comenzilor.

Fereastra principală a aplicației pune la dispoziția utilizatorului o bară de meniu cu meniuri derulante; principalele meniuri (și submeniurilor lor) sunt :

Image : operații de intrare / ieșire la nivel fișier

Nouvelle : crearea unei noi imagini și a unei noi ferestre asociate

Ouvrir : încărcarea unei imagini stocate în format MFI

Enregistrer : salvarea imaginii curente în formatul MFI, sub numele curent

Enregistrer sous : salvarea imaginii curente în format MFI sub un alt nume

Enregistrer signature : salvarea semnăturii în format SIG

Ouvrir Bitmap : încărcarea unei imagini stocate în format BITMAP

Enregistrer Bitmap : salvarea unei imagini (binare, hărți, semnătură) în format BITMAP

Quitter : părăsirea aplicației

Operations : operații de prelucrare a imaginilor binare

Binaires : operațiile binare AND, NOT, OR, XOR, DIFF

Morphologiques : operațiile morfologice de dilatare, erodiune, închidere, deschidere

Extractions contour : extragerea de contur vertical, orizontal, complet, codare Freeman

Distances : calculul distanțelor între forme (Hausdorff, diferență simetrică)

Cartes distances : calculul hărților de distanțe (Danielsson, Voronoi)

Labelisation : etichetarea unei imagini

Polygonaliser : extragerea unui poligon de aproximare pentru o formă

Paramètres : operații de extragere a parametrilor

Centre de gravité : calculul centrului de greutate

Moments statistiques : calculul invarianților statistici ai formelor

Convexités : calculul parametrilor de convexitate ai unei forme

Circularités : calculul parametrilor de circularitate ai unei forme

Morphologiques : calculul skeletonului morfologic și a centrelor cercurilor înscris și circumscris

Signatures : calculul semnăturii unei forme

Edition : editarea de imagini de test conținând corpuri geometrice simple

Rectangle : desenarea unui dreptunghi (laturi paralele cu axele de coordonate)

Ellipse : desenarea unei elipse (axe paralele cu axele de coordonate)

Effacer : ștergerea conținutului imaginii curente

Options : configurarea programului

Enregistrement : configurarea salvării imaginilor

Distance dausdorff : configurarea modului de calcul al distanței Hausdorff

Approximations : parametrii de aproximare poligonală și ai semnăturii

Labelisation : configurarea etichetării

Cartes : configurarea extragerii hărților de distanțe

Affichage : configurarea modului de afișare a informațiilor asociate unei imagini

Enregistrer options : înregistrarea opțiunilor

Charger options : încărcarea unui fișier de configurare

Fenêtres : meniu standard Windows pentru configurarea spațiului de lucru

Cascade : aranjarea ferestrelor deschise în cascadă

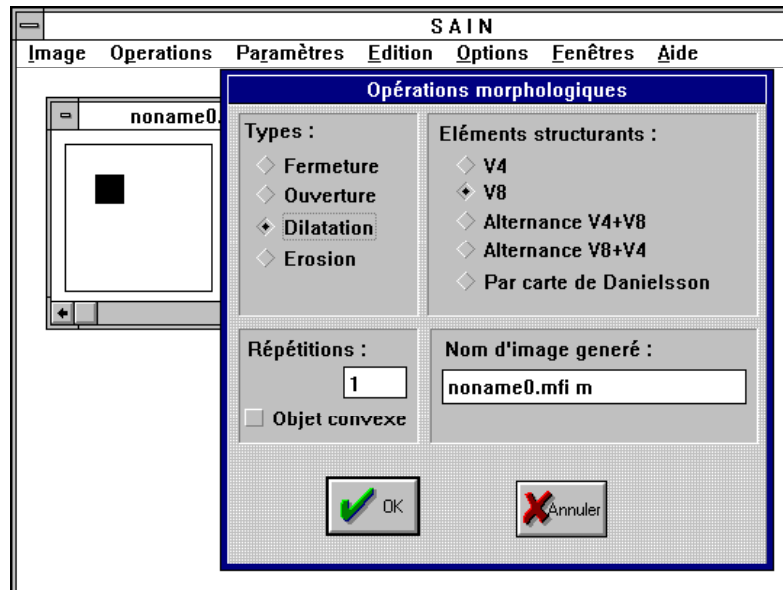


Fig. B.1: Fereastra principală a aplicației SAIN, conținând bara meniului principal; asupra imaginii conținute într-o fereastră de tip imagine se alege efectuarea unei operații de tip morfologic, prin selecția parametrilor și comenzilor într-o fereastră de dialog.

Mosaïque : aranjarea ferestrelor deschise în mod mozaic (pe tot ecranul)

Arranger icônes : aranjarea iconurilor ferestrelor minimizate la baza ecranului

Tout fermer : închiderea tuturor ferestrelor

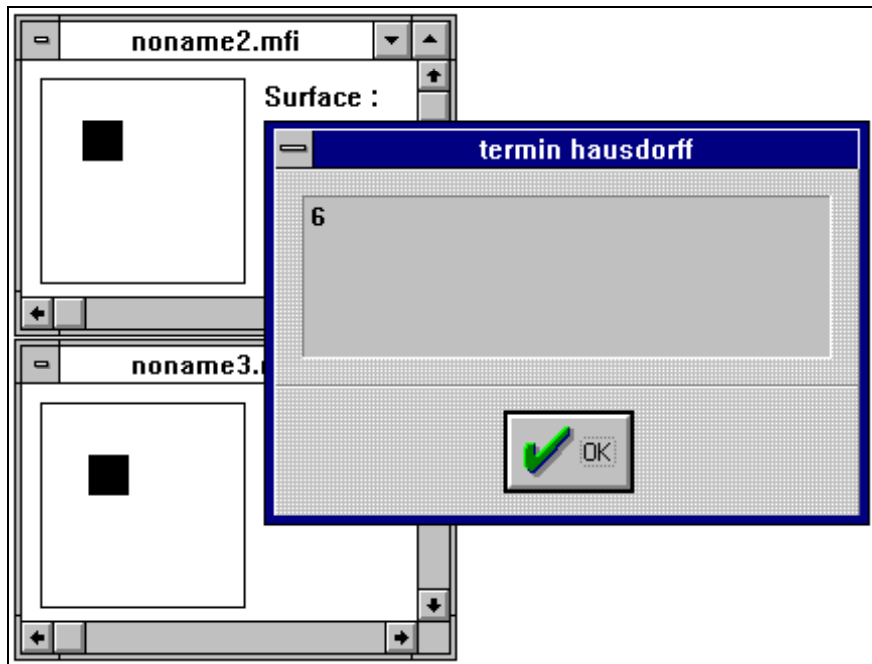


Fig. B.2: Rezultatul calculului distanței Hausdorff între două forme identice, dar decalate pozițional.

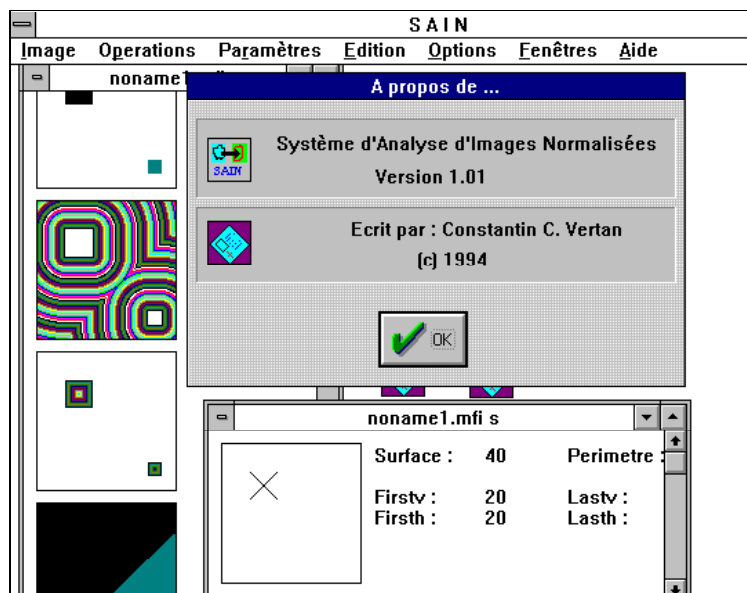


Fig. B.3: O fereastră de tip imagine conține o imagine binară etichetată (diferențele dintre obiecte sunt marcate prin culori) și hărțile de distanțe ce îi sunt asociate (fereastra "noname1.mfi"); fereastra de tip imagine "noname1.mfi s" conține skeletonul unei forme pătrate. Fereastra de dialog "A propos de..." aduce informații asupra programului.

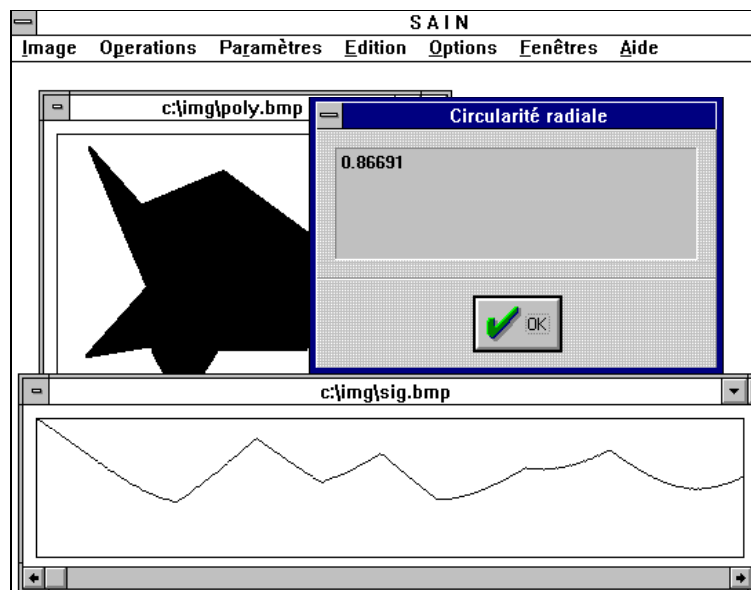


Fig. B.4: În două ferestre distincte se observă o formă inițială ("poly.bmp") și semnătura sa, extrasă în funcție de abscisa curbilinie, cu un număr de 512 eșantioane; într-o fereastră de dialog apare rezultatul calculului parametrului de circularitate al formei ca raport al valorilor extreme ale semnăturii.

Anexa C

Lista imaginilor disponibile

C.1 Imagini binare pentru etichetare

binar1.bmp, binar2.bmp, binar3.bmp, binar4.bmp, binar5.bmp, obiect2.bmp, obiect4.bmp

C.2 Imagini binare pentru caracterizarea formelor

f0_0.mfi, f0_1.mfi, f0_2.mfi, f0_3.mfi, f0_4.mfi, f0_5.mfi, f0_6.mfi, f0_7.mfi

f1_0.mfi, f1_1.mfi, f1_2.mfi, f1_3.mfi, f1_4.mfi, f1_5.mfi, f1_6.mfi, f1_7.mfi

f2_0.mfi, f2_1.mfi, f2_2.mfi, f2_3.mfi, f2_4.mfi, f2_5.mfi, f2_6.mfi, f2_7.mfi

f3_0.mfi, f3_1.mfi, f3_2.mfi, f3_3.mfi, f3_4.mfi, f3_5.mfi, f3_6.mfi, f3_7.mfi

f4_0.mfi, f4_1.mfi, f4_2.mfi, f4_3.mfi, f4_4.mfi, f4_5.mfi, f4_6.mfi, f4_7.mfi

f5_0.mfi, f5_1.mfi, f5_2.mfi, f5_3.mfi, f5_4.mfi, f5_5.mfi, f5_6.mfi, f5_7.mfi

f6_0.mfi, f6_1.mfi, f6_2.mfi, f6_3.mfi, f6_4.mfi, f6_5.mfi, f6_6.mfi, f6_7.mfi

f7_0.mfi, f7_1.mfi, f7_2.mfi, f7_3.mfi, f7_4.mfi, f7_5.mfi, f7_6.mfi, f7_7.mfi

f8_0.mfi, f8_1.mfi, f8_2.mfi, f8_3.mfi, f8_4.mfi, f8_5.mfi, f8_6.mfi, f8_7.mfi

f9_0.mfi, f9_1.mfi, f9_2.mfi, f9_3.mfi, f9_4.mfi, f9_5.mfi, f9_6.mfi, f9_7.mfi

Sunt reprezentate 10 forme (de la f0 la f9), fiecare în 8 variante (de la _0 la _7) translate, scalate, rotite și cu mici variații. Fișierele există cu aceleași nume (și extensia .bmp) și în format BITMAP.

C.3 Imagini intrinsec binare

D128.bmp, M128.bmp, T128.bmp - forma corectă a documentelor

Draw128.bmp, Mail128.bmp, Text128.bmp - imagini cu nivele de gri (8 biți pe pixel), documente scanate

C.4 Imagini de sinteză cu nivele de gri

tst1_128.img, tst2_128.img, tst3_128.img, tst4_128.img, tst5_128.img.

C.5 Texturi

t0_256.img, t1_256.img, t2_256.img, t3_256.img, t4_256.img, t5_256.img, t6_256.img, t7_256.img, t8_256.img, t9_256.img

C.6 Imagini naturale cu nivele de gri

cact_128.img, came_128.img, dune_128.img, face_128.img, flow_128.img, lena_128.img, pepp_128.img

Bibliografie

- [1] Castleman, K. R.: *Digital Image Processing*, Prentice Hall, Englewood Cliffs, NJ, 1996
- [2] Cocquerez, J. P., Philipp, S. (coord.): *Analyse d'images: filtrage et segmentation*, Masson, Paris, 1995
- [3] Dougherty E. R., Giardina, C. R.: *Image Processing - Continuous to Discrete*, vol. 1, *Geometric, Transform and Statistical Methods*, Prentice Hall Inc., Englewood Cliffs, 1987
- [4] Gonzales, R. C., Woods, R. E.: *Digital Image Processing*, Addison Wesley, Reading MA, 1992
- [5] Haralick, R. M., Shapiro, L. G.: "Glossary of Computer Vision Terms", în *Pattern Recognition*, vol. 24, no. 1, pag. 69-93, 1991
- [6] Jähne, B.: *Practical Handbook on Image Processing for Scientific Applications*, CRC Press, 1997
- [7] Jain, A. K.: *Fundamentals of Digital Image Processing*, Prentice Hall, Englewood Cliffs NJ, 1989
- [8] Pitas, I., Venetsanopoulos, A. N.: *Nonlinear Digital Filters – Principles and Applications*, Kluwer Academic Publ., Norwell MA, 1990
- [9] Serra, J.: *Image Analysis and Mathematical Morphology*, Academic Press, London, 1982
- [10] Spătaru, A.: *Teoria Transmisiunii Informației*, Ed. Didactică și Pedagogică, București, 1984
- [11] C. Vertan: "Prelucrarea și Analiza Imaginilor", Ed. Printech, București, 1999
- [12] Wahl, F. M.: *Digital Image Signal Processing*, Artech House, Boston, 1987